

±0,000 = 364,80 m n.m. B.p.v.

generální projektant



Atelier 99 s.r.o.

Purkyňova 71/99
612 00 Brno

architekt Ing. arch. Zdeněk Bureš

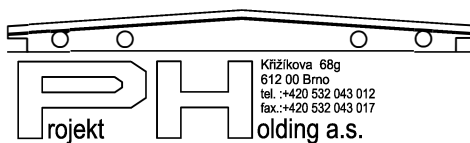
HIP Ing. arch. Zdeněk Bureš

kontroloval Ing. Josef Pirochta

stavebník Město Benešov, Masarykovo náměstí 100, 25601 Benešov

místo stavby ulice Nádražní a okolí

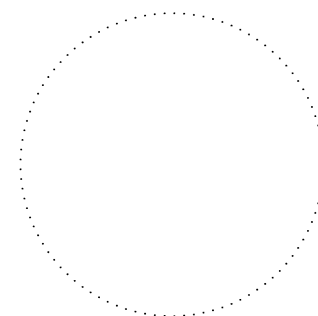
projektant části



vypracoval Ing. Michal Matějčák

kreslil

zodp. projektant Ing. Michal Matějčák



dokument 15-23

datum 08/2017

formát 43 x A4

stupeň DZS

revize

měřítko

název stavby

objekt

část

Terminál Benešov

S004_PARKOVACÍ DŮM

D1.2_STAVEBNĚ KONSTRUKČNÍ ŘEŠENÍ

název dokumentu

STATICKÝ VÝPOČET

číslo přílohy

S004_06

Obsah statického výpočtu:

- Titulní strana
- Obsah statického výpočtu
- Popis konstrukce
- Předpoklady výpočtu
- Rozbor zatížení
- 3D model – VSTUPY
- 3D model – REAKCE
- Vnitřní síly - sloupy
- Závěr

Statický výpočet obsahuje celkem 43 stran včetně titulního listu.

Popis konstrukce

Předmětem Dokumentace pro zadání stavby je vykreslení nosné konstrukce nové budovy parkovacího domu, která je součástí akce Terminál Benešov. Jedná se o kompletní rekonstrukci autobusového nádraží v Benešově. SO 004 Parkovací dům je navržen jako vícepodlažní montovaný ŽB skelet.

Objekt parkovacího domu je navržen jako trojpatrová montovaná ŽB konstrukce určená k parkování osobních automobilů. Půdorysný tvar je přibližně podlouhlý obdélník. Rozměry celého objektu jsou osově 17,5 x 127,3m. V 1.NP je světlá výška 3100mm, Ve 2.NP a 3.NP je 3000mm. Půdorysně jsou všechna patra obdoba; konstrukčně je můžeme rozdělit na tři části, osově A-H, H-K, K-R. Nosnou konstrukci objektu tvoří vícepodlažní příčné rámy doplněné o stropní konstrukce. Základ rámu jsou průběžné nebo dělené sloupy kotvené do kalichů základové konstrukce a na ně ukládané průvlaky.

Výjezdová část (osy A-H) je mezi osami 2-6, rozměrově je 14,93 x 52,00m. Sloupy jsou průběžné a průvlaky jsou ukládány na jejich konzoly. Průvlaky jsou v podélném směru

v osových vzdálenostech 3,6+11,33m. Stropní konstrukce je tvořena předem předepjatými stropními panely a zmonolitněním a na rampách filigránovými deskami se zmonolitněním. V oblasti os 2-3/D-H je navržena výjezdová rampa světlé šířky 3,0m. Rampa má sklon vždy 12,0 %, délka v 1.NP je 27,785m, v ostatních patrech 26,955m. Samotná konstrukce rampy je tvořena filigránovými deskami se zmonolitněním celkové tloušťky 200mm (60+140). Desky jsou ukládány na průvlaky, které jsou ukládány na konzoly sloupů ve spádu. V ose 2 jsou nosné prvky plné stěny tloušťky 250mm. Stropní konstrukce je ve štítové stěně doplněna obvodovými průvlaky. Všechny průvlaky v osách 3, 6 nahrazují parapetní nosníky a jsou tvaru „L“. Mezi osami A, B je navrženo schodiště. Je to dvojramenné schodiště základní šířky 1200mm. Ramena a podesty jsou navrženy jako prefabrikované; stěny, které schodiště vymezují, jsou prefabrikované nebo monolitické.

Střední část (osy H-K) je na celou šířku budovy (osově 1-6). Rozměrově je 17,5 x 24,1m. Sloupy v této části jsou dělené a průvlaky jsou ukládány na jejich hlavy. Průvlaky jsou v podélném směru budovy v osových vzdálenostech 4,6 + 8,10 + 4,60m. Stropní konstrukce v krajních i středních polích je tvořena strop. panelama se zmonolitněním. Stropní konstrukce jsou v krajních osách (H, K) uzavřeny průvlaky nebo ztužidly. Část je ohraničena plnými prefabrikovanými stěnami v osách 1, H, K. Stěny jsou vždy mezi osami 1-3.1 a 4.1-6. V oblasti os 5-6/J-K je navržena výtahová šachta. Šachta je tvořena plnými stěnami kotvenými k sobě navzájem a ke sloupu v ose 6/K. půdorysné rozměry šachty jsou 2,83x2,45m.

Nájezdová část (osy K-R) je mezi osami 1-5, rozměrově je 15,2 x 51,2m. Sloupy jsou průběžné a průvlaky jsou ukládány na jejich konzoly. Průvlaky jsou v podélném směru v osových vzdálenostech 11,5 + 3,7m. Stropní konstrukce je tvořena předem předepjatými stropními panely a zmonolitněním. V oblasti os 4-5/L-P je navržena nájezdová rampa světlé šířky 3,1m. Rampa má sklon vždy 12,0 %, délka v 1.NP je 27,785m, v ostatních patrech 26,955m. Samotná konstrukce rampy je tvořena filigránovými deskami se zmonolitněním celkové tloušťky 200mm (60+140). Desky jsou ukládány na průvlaky, které jsou ukládány na konzoly sloupů ve spádu. Stropní konstrukce je ve štítové stěně doplněna obvodovými průvlaky. Všechny průvlaky nahrazují parapetní nosníky a jsou tvaru „L“. Mezi

osami P, Q je navrženo schodiště. Je to dvojramenné schodiště základní šířky 1550mm. Ramena a podesty jsou navrženy jako prefabrikované; stěny, které schodiště vymezují, jsou prefabrikované nebo monolitické.

Nájezdová i výjezdová rampa je ve 3.NP zastřešena, mezi osami 2-3/D-H a 4-5/L-P. Konstrukce zastřešení je tvořena příčnými ŽB nosíky a trojicí podélných I280 a v podélném směru hliník. Lamelami, viz stavební projekt. ŽB Nosíky jsou vykonzolidované na délce 2,0m do střední části domu, kde tvoří společně s hliníkovými profily stínění.

Založení konstrukce je uvažováno na velkopřůměrových pilotách. Piloty budou v horní části upraveny rozšířením s vnitřním prohloubením (kalichem) pro kotvení sloupů. Po zmonolitnění styku sloup x kalich je tento detail uvažován jako plné vetknutí. Stabilita nosné konstrukce je zajištěna tuhostí sloupů a jejich vetknutí do základové konstrukce a zmonolitněním jednotlivých stropních desek a jejich spolupůsobení se stěnami.

Po obvodu je konstrukce doplněna základovými nosíky a opěrnými stěnami. Opěrné stěny jsou v části přilehlé k vlakovému nádraží, tedy v osách 1 a 2. Štítové strany jsou osazeny nosíky. Základové nosíky jsou také pod stěnami v osách H, K.

Konstrukce je ze tří stran doplněna plnými stěnami po celé výšce, jsou v osách 1, 2, A, R.

V ose A2 na opěrky navazuje opěrná zeď, která ohraničí stávající nástupiště u parkovacího domu.

S ohledem na podélný charakter objektu (17,5 x 127,3m), jsou zde navrženy dvě dilatace a to v ose H a K. Dilatace bude řešena kluzným uložením horizontálních prvků.

ŽB prefa prvky jsou z výroby osazeny kotevními prvky pro stykování a kotvení jednotlivých prvků mezi sebou a všechny mají sražené hrany 10/10mm. Úprava povrchů jednotlivých prvků je uvažována v kvalitě pod nástřikové barvy, spáry mezi jednotlivými prutovými a plošnými prvky se netmelí (pokud to není staticky nutné).

Předpoklady výpočtu konstrukce

Předpoklady výpočtu:

- statický výpočet nosné konstrukce a návrh jednotlivých průřezů prefa konstrukce vychází z řešení 3D rámové nosné konstrukce
- uložení sloupů do kalichů a následné zmonolitnění je bráno jako plné vetknutí
- styky horizontálních prvků jsou uvažovány jako kloubové v dané rovině působení
- do zatížení nejsou zahrnuty účinky od přetížení podlahou a tíhou zeminy nad kalichem
- při výpočtu nosných prvků konstrukce bylo uvažováno s požární odolností konstrukce:

- nosná konstrukce střechy a stropů	R60
- sloupy	R60
- základové nosníky	R60
- z důvodu velkého objemu vstupních a výstupních dat jsou ve statickém výpočtu uvedeny pouze předpoklady výpočtu, zatěžovací údaje, výpisy reakcí a základní posouzení prefa prvků. Celkové vstupní a výstupní údaje jsou archivovány u zpracovatele.

Pro návrh nosné konstrukce bylo použito platných norem ČSN EN a příslušných doplňujících předpisů a změn:

ČSN EN 206-1	Beton - část 1: Specifikace, vlastnosti, výroba a shoda
ČSN EN 1990	Zásady navrhování konstrukcí
ČSN EN 1991-1-1 až 1-4	Zatížení konstrukcí - část 1-1 až 1-4
ČSN EN 1992 -1-1	Navrhování betonových konstrukcí – část 1-1
ČSN EN 1992 -1-2	Navrhování betonových konstrukcí – část 1-2
ČSN EN 1993 -1-1	Navrhování ocelových konstrukcí – část 1-2
ČSN EN 1997 -1	Navrhování geotechnických konstrukcí – část 1
ČSN EN 1998 -1	Navrhování konstrukcí odolných proti zemětřesení – část 1

Pro výpočet byly použity programy:

řešení vnitřních sil 3D modelu:	SCIA Engineer 2016
podrobné návrhy prvků:	FIN 10-EC, GEO5-EC, RIB

Použité podklady a literatura:

- stavební výkresy – koordinace projektu stavební části projekční kancelář A77 architekti,
- geologický průzkum předešlých objektů – BALUN geo s.r.o.,

Plán kontroly a spolehlivosti konstrukcí:

Nosná konstrukce objektu musí být po celou dobu své životnosti řádně udržována a správně provozována z hlediska jejího budoucího využití. Majitel, resp. provozovatel objektu, musí zajistit pravidelné kontroly nosné konstrukce objektu a konstrukcí které úzce souvisí s nosným systémem nebo jinak zajišťují stabilitu samotného, případně vedlejšího objektu. Pravidelné kontroly by měla provádět osoba odborně způsobilá k těmto úkonům a o stavu nosné konstrukce by měly být vedeny archivované záznamy.

Pravidelné kontroly spolehlivosti konstrukce zahrnují mimo základní prohlídky spolehlivosti nosné konstrukce, také kontroly stavu a funkčnosti střešních vpustí, žlabů, bezpečnostních přepadů a hydroizolace střešní a obvodového pláště (doporučený interval je cca 2x za rok, ideálně před zimním a letním obdobím), kontroly obnovy antikoročních a protipožárních nátěrů a nástřiků konstrukcí (interval dle technologických předpokladů dodavatele). Dále by kontrola měla ověřit předpoklady uvažovaného zatížení na konstrukci při návrhu (viz rozbor zatížení) a reálné zatížení při provozu objektu (možné kumulace zatížení nebo případné přetížení nosné konstrukce). S tím souvisí kontrola kumulace zatížení od sněhu v zimním období (odklizení enormních návějí atd.) nebo dynamické účinky od technologických zařízení (vibrace atd.).

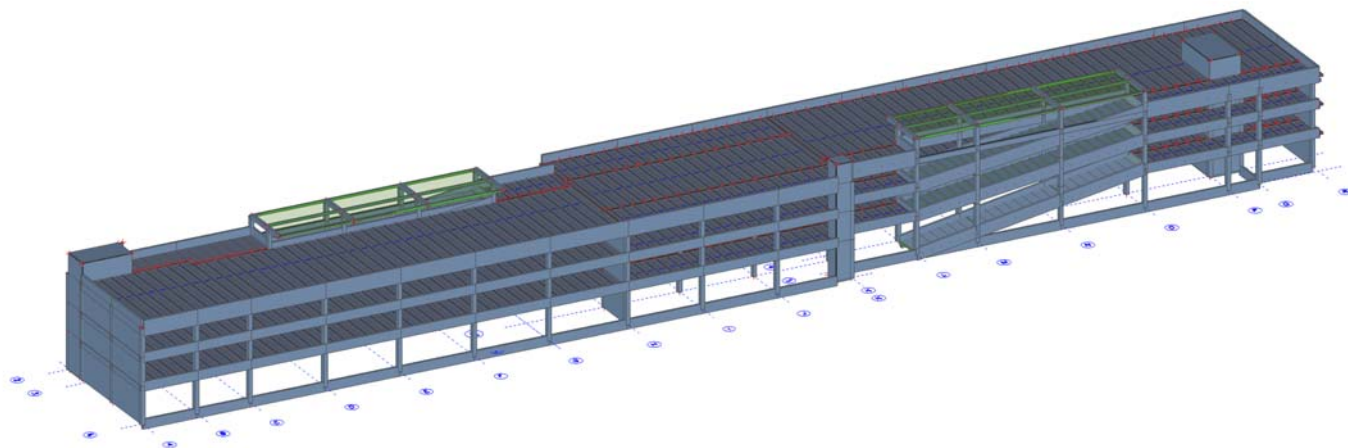
015-15 Benešov - DZS

Licenční jméno	PH
Projekt	015-15 Benešov - DZS
Část	Parkovací dům
Popis	3D konstrukce
Autor	Matějčák, Projekt Holding a.s.
Datum	23. 08. 2017
Konstrukce	Obecná XYZ
Poč. uzlů :	1714
Poč. prutů :	1214
Poč. ploch :	102
Poč. těles :	0
Poč. průřezů :	16
Poč. zat. stavů :	13
Poč. materiálů :	5
Tíhové zrychlení [m/s ²]	9,810
Národní norma	EC - EN
Funkcionalita	Nelinearity, II. řád - geometrická nelinearity, Klimatická zatížení, Ocel
Popis zatížení	<p>Tlak větru podle EC1</p> <p>V bo 25.00 V_{b,0} - základní rychlost větru</p> <p>C dir 1.00 c_{dir} - součinitel směru</p> <p>C sezónní 1.00 c_{season} - součinitel ročního období</p> <p>C or 1.00 c_o - součinitel orografie</p> <p>k l 1.00 k_l - součinitel turbulence</p> <p>C pravd 1.00 c_{prob} - součinitel pravděpodobnosti</p> <p>ro 1.25 ro - hustota vzduchu</p> <p>Pravděpodobnost</p> <p>p 2.00 p</p> <p>K 0.20 K - součinitel tvaru</p> <p>n 0.50 n - exponent</p> <p>Terén - III</p> <p>Kr - součinitel terénu 0.215</p> <p>z₀ - délka nerovnosti 0.300</p> <p>z_{min} - minimální výška 5.00</p> <p>Vnitřní tlak pro 2D vítr - bez vnitřního tlaku</p> <p>hloubka 100.00 b - šířka konstrukce</p> <p>výška z₀ 0.00 Referenční úroveň terénu</p> <p>Vnější tlak pro 3D vítr - Použit celkové součinitele C_{pe,10}</p> <p>EC popis sněhu</p> <p>Sk 1.00 kN/m² charakteristická hodnota zatížení sněhem</p> <p>Ce 1.00 součinitel expozice</p> <p>Ct 1.00 tepelný součinitel</p> <p>Cesl součinitel výjimečného zatížení sněhem - neuvažuje se</p>
Národní dodatek	Česká CSN-EN NA

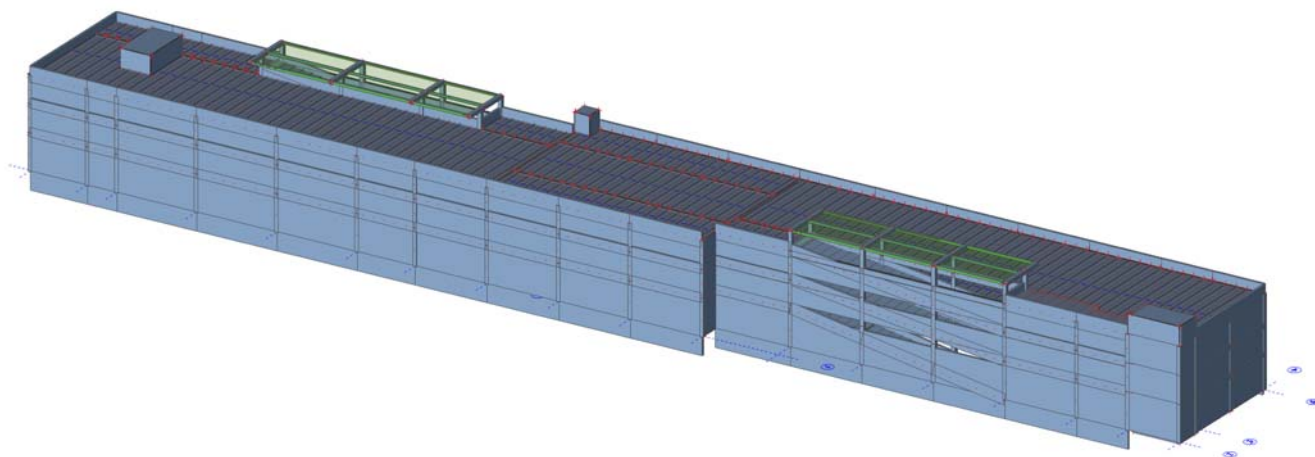
Rozbor zatížení

ČSN EN 1991-1-1 až 1991-1-4, ČSN EN 1998-1, ČSN EN 1991-3		charak.	γf	návrh.																																												
požární odolnost uvažována 60 min.																																																
g0 vlastní tíha	dle jednotlivých průřezů, pro beton kNm ⁻³	25,00	1,35	33,75																																												
	SPIROLL h=400mm kNm ⁻²	4,75																																														
	SPIROLL h=250mm kNm ⁻²	3,17																																														
	SPIROLL h=200mm kNm ⁻²	2,70																																														
	dle jednotlivých průřezů, pro ocel kNm ⁻³	78,50	1,35	105,98																																												
g1 ostatní stálé																																																
na strop na úrovni +3,10m, +6,10m																																																
	pojízdná vrstva tl. 120mm - beton	3,00																																														
	podvěsy (osvětlení, technologie, atd.)	0,50																																														
	Σ kNm ⁻²	3,50	1,35	4,73																																												
na střechu na úrovni +9,10m																																																
	pojízdné souvrství ve spádu 120mm až 240mm	3,00 - 6,00																																														
	podvěsy (osvětlení, technologie, atd.)	0,50																																														
	Σ kNm ⁻²	3,50 - 6,50	1,35																																													
na nájezdových rampách	kNm-2	3,75	1,35	5,06																																												
na přístřešky nad rampama, nad výtah. + schod.	kNm-2	0,25	1,35	0,34																																												
na sloupy	opláštění kNm-2	0,25	1,35	0,34																																												
s zatížení sněhem																																																
na střechu																																																
	sníh II. - s _k	1,00 kNm ⁻²																																														
v ploše:	μ ₁ = 0,8 Ce=1,0 Ct=1,0	0,80	1,50	1,20																																												
návěj + atika	μ ₂ = 2,0 Ce=1,0 Ct=1,0	2,00	1,50	3,00																																												
w vítr																																																
	II. větrová oblast		1,50																																													
<table><tr><th>kat.terénu</th><th>III.</th><th>[-]</th></tr><tr><td>v_b</td><td>25,0</td><td>[m/s]</td></tr><tr><td>q_b</td><td>0,391</td><td>kN/m²</td></tr><tr><td>q_p(h)</td><td>0,715</td><td>kN/m²</td></tr><tr><td>c_e(h)</td><td>1,829</td><td>[-]</td></tr><tr><td>h</td><td>do 12m</td><td>[m]</td></tr><tr><td>d</td><td>241,5 (18)</td><td>[m]</td></tr><tr><td>b</td><td>18 (241,5)</td><td>[m]</td></tr></table>		kat.terénu	III.	[-]	v _b	25,0	[m/s]	q _b	0,391	kN/m ²	q _p (h)	0,715	kN/m ²	c _e (h)	1,829	[-]	h	do 12m	[m]	d	241,5 (18)	[m]	b	18 (241,5)	[m]	<table><tr><th>PLOCHA</th><th>C_{pe,10}</th></tr><tr><td>A</td><td>-1,20</td></tr><tr><td>B</td><td>-0,80</td></tr><tr><td>C</td><td>-0,50</td></tr><tr><td>D</td><td>0,70</td></tr><tr><td>E</td><td>-0,30</td></tr><tr><td>F</td><td>-1,34</td></tr><tr><td>G</td><td>-0,87</td></tr><tr><td>H</td><td>-0,70</td></tr><tr><td>I_{min}</td><td>-0,20</td></tr><tr><td>I_{max}</td><td>0,20</td></tr></table>	PLOCHA	C _{pe,10}	A	-1,20	B	-0,80	C	-0,50	D	0,70	E	-0,30	F	-1,34	G	-0,87	H	-0,70	I _{min}	-0,20	I _{max}	0,20
kat.terénu	III.	[-]																																														
v _b	25,0	[m/s]																																														
q _b	0,391	kN/m ²																																														
q _p (h)	0,715	kN/m ²																																														
c _e (h)	1,829	[-]																																														
h	do 12m	[m]																																														
d	241,5 (18)	[m]																																														
b	18 (241,5)	[m]																																														
PLOCHA	C _{pe,10}																																															
A	-1,20																																															
B	-0,80																																															
C	-0,50																																															
D	0,70																																															
E	-0,30																																															
F	-1,34																																															
G	-0,87																																															
H	-0,70																																															
I _{min}	-0,20																																															
I _{max}	0,20																																															
q užité																																																
na úrovni +0,00	kat. F (vozidla < 30 kN]	3,00	1,50	4,50																																												
na úrovni +3,10 až + 9,10m	kat. F (vozidla < 30 kN]	3,00	1,50	4,50																																												
schodiště, výtahy, pochůzí plochy	kat. C	3,00	1,50	4,50																																												
přístřešky	kat. H kNm ⁻²	0,75	1,50	1,13																																												
(dle 1991-1-1, NA.2.9, čl. 6.3.4.2, působící na ploše A=10,0 m ²)																																																
a seismicita																																																
referenční zrychlení základ. půdy a _{oR} je < 0,3 ag, nebere se do úvahy dle ČSN EN 1998-1, /úprava dle ČSN EN 1998-1 změna 4/																																																

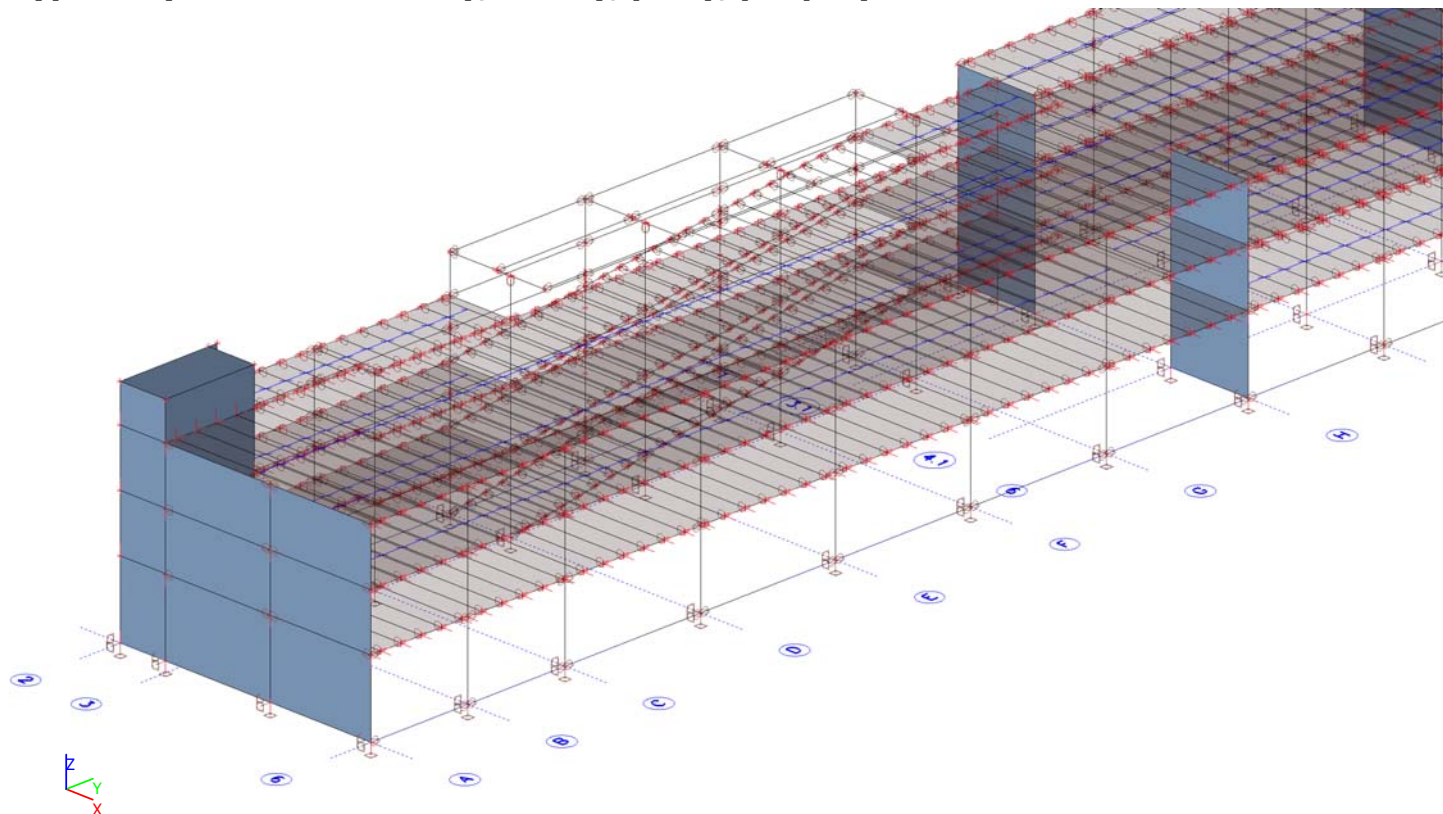
Výpočtový model - 1



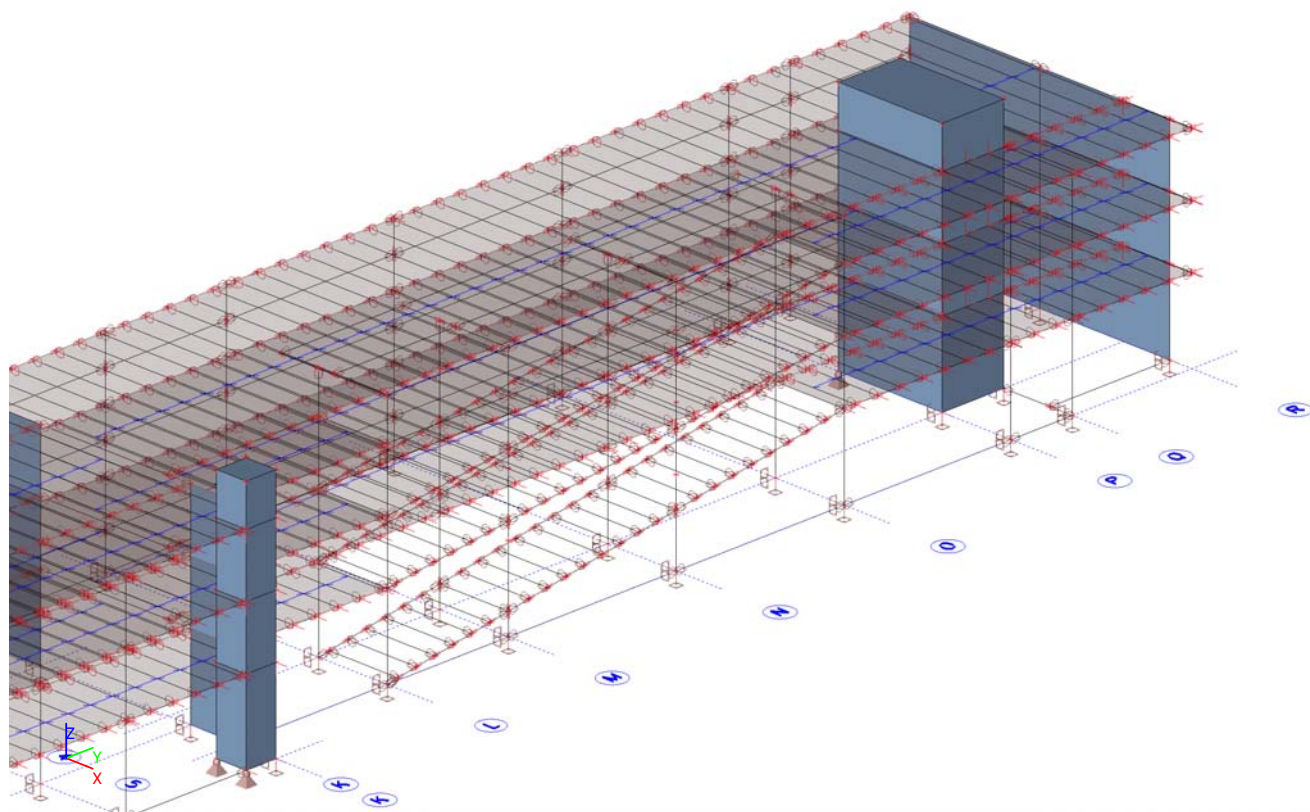
Výpočtový model - 2



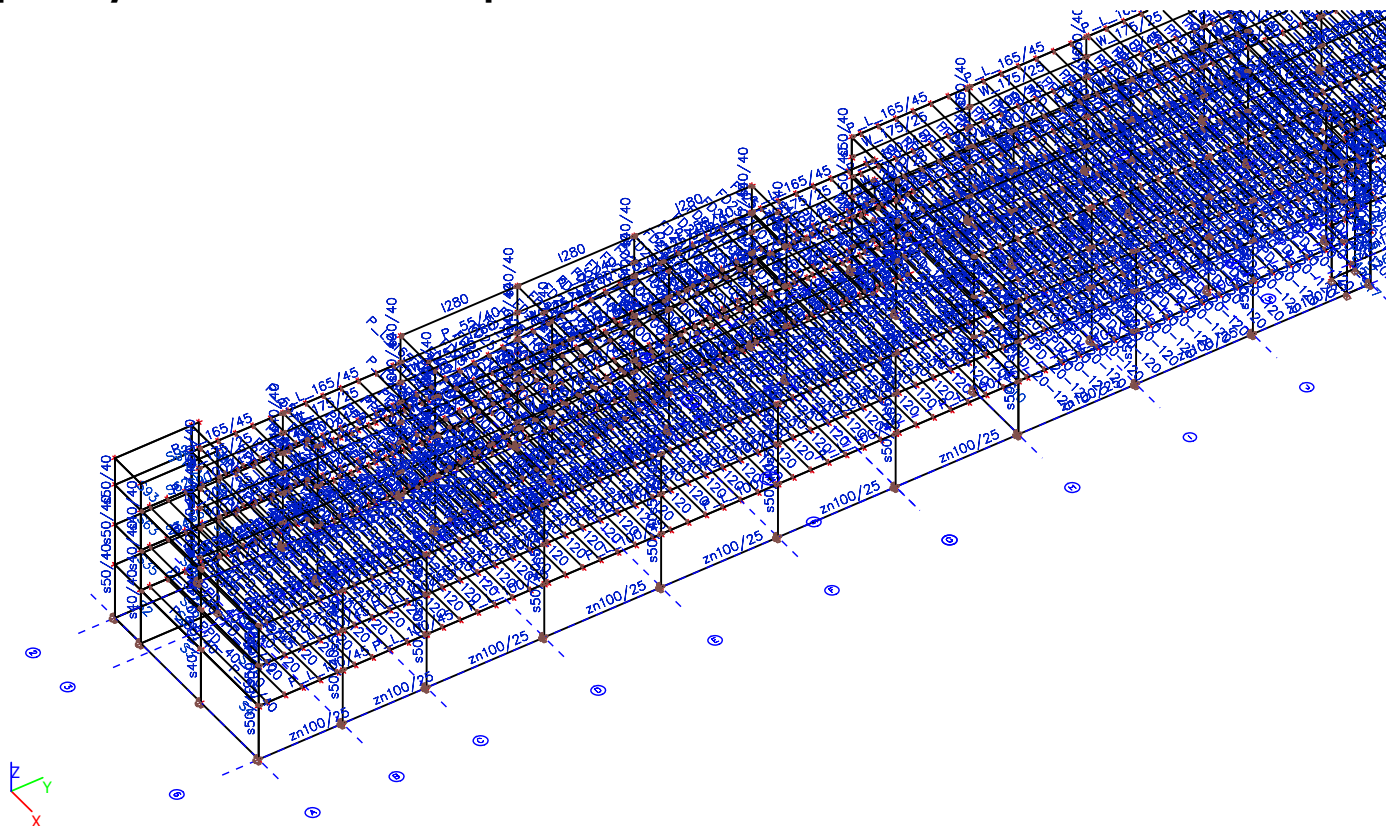
Výpočtový 3D model 1 - uzly, klouby, pruty, podpory



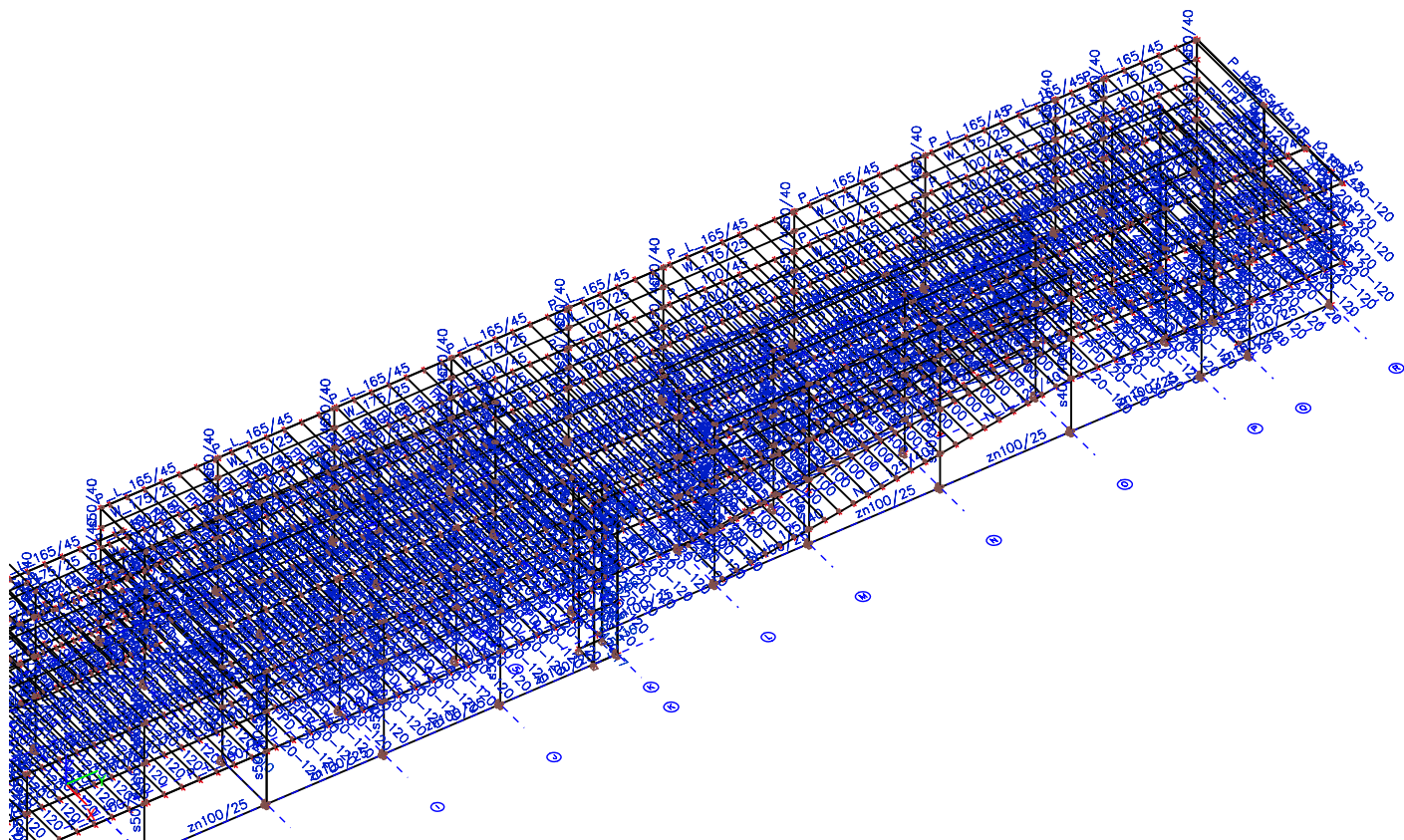
Výpočtový 3D model 2 - uzly, klouby, pruty, podpory



Výpočtový 3D model - označení průřezů 1




Výpočtový 3D model 2 - uzly, klouby, pruty, podpory







Materiály







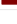









Ocel EC3

Jméno	ρ [kg/m ³]	E_{mod} [MPa] G_{mod} [MPa]	μ α [m/mK]	Dolní mez [mm]	Horní mez [mm]	F_y [MPa]	F_u [MPa]	Barva
S 235	7850,0	2,1000e+05 8,0769e+04	0.3 0,00	0 40	40 80	235,0 215,0	360,0 360,0	

Beton EC2

Jméno	Typ	ρ [kg/m ³]	E_{mod} [MPa]	μ	α [m/mK]	$f_{c,k,28}$ [MPa]	Barva
C25/30	Beton	2500,0	3,1500e+04	0.2	0,00	25,00	
C30/37	Beton	2500,0	3,2800e+04	0.2	0,00	30,00	
C35/45	Beton	2500,0	3,4100e+04	0.2	0,00	35,00	
C45/55	Beton	2500,0	3,6300e+04	0.2	0,00	45,00	

Průřezy

Jméno	Typ	Materiál	Výroba	A [m ²]	A_y [m ²] A_z [m ²]	I_y [m ⁴] I_z [m ⁴]	$W_{el,y}$ [m ³] $W_{el,z}$ [m ³]	$W_{pl,y}$ [m ³] $W_{pl,z}$ [m ³]	Barva
	Detailní								
s50/40	Obdélník 500; 400	C35/45	beton	2,0000e-01	1,6667e-01 1,6667e-01	4,1667e-03 2,6667e-03	1,6667e-02 1,3333e-02	0,0000e+00 0,0000e+00	
s40/40	Obdélník 400; 400	C35/45	beton	1,6000e-01	1,3333e-01 1,3333e-01	2,1333e-03 2,1333e-03	1,0667e-02 1,0667e-02	0,0000e+00 0,0000e+00	
zn200/25	Obdélník 2000; 250	C30/37	beton	5,0000e-01	4,1667e-01 4,1667e-01	1,6667e-01 2,6042e-03	1,6667e-01 2,0833e-02	0,0000e+00 0,0000e+00	
zn100/25	Obdélník 1000; 250	C30/37	beton	2,5000e-01	2,0833e-01 2,0833e-01	2,0833e-02 1,3021e-03	4,1667e-02 1,0417e-02	0,0000e+00 0,0000e+00	
N_L_125/40	L g 1250; 400; 200; 250	C35/45	beton	3,4250e-01	3,1980e-01 2,7003e-01	4,8515e-02 2,5981e-03	7,1493e-02 1,1141e-02	0,0000e+00 0,0000e+00	
FD25/100	Obdélník 250; 1000	C25/30	beton	2,5000e-01	2,0833e-01 2,0833e-01	1,3021e-03 2,0833e-02	1,0417e-02 4,1667e-02	0,0000e+00 0,0000e+00	
P_L_100/45	L g 1000; 450; 250; 250	C35/45	beton	3,0000e-01	2,8763e-01 2,2694e-01	2,7470e-02 3,0608e-03	4,7349e-02 1,1903e-02	0,0000e+00 0,0000e+00	
P_55/40	Obdélník 550; 400	C35/45	beton	2,2000e-01	1,8333e-01 1,8333e-01	5,5458e-03 2,9333e-03	2,0167e-02 1,4667e-02	0,0000e+00 0,0000e+00	
P_L_165/45	L g 1650; 450; 250; 250	C35/45	beton	4,6250e-01	4,3424e-01 3,5819e-01	1,1614e-01 4,1305e-03	1,2787e-01 1,5372e-02	0,0000e+00 0,0000e+00	
W_355/25	Obdélník 3550; 250	C35/45	beton	8,8750e-01	7,3961e-01 7,3958e-01	9,3206e-01 4,6224e-03	5,2510e-01 3,6979e-02	0,0000e+00 0,0000e+00	
W_200/25	Obdélník 2000; 250	C35/45	beton	5,0000e-01	4,1667e-01 4,1667e-01	1,6667e-01 2,6042e-03	1,6667e-01 2,0833e-02	0,0000e+00 0,0000e+00	
W_175/25	Obdélník 1750; 250	C35/45	beton	4,3750e-01	3,6459e-01 3,6458e-01	1,1165e-01 2,2786e-03	1,2760e-01 1,8229e-02	0,0000e+00 0,0000e+00	
I280	I280	S 235	válcovaný	6,1000e-03	3,8688e-03 2,8395e-03	7,5900e-05 3,6400e-06	5,4200e-04 6,1200e-05	6,3067e-04 1,0300e-04	
PPD_40-120	I ng 400; 1200; 1200; 65; 65; 267	C45/55	beton	2,2801e-01	1,8104e-01 1,0833e-01	4,8692e-03 1,9147e-02	2,4346e-02 3,1911e-02	0,0000e+00 0,0000e+00	
PPD_20-120	I ng 200; 1200; 1200; 46; 48; 160	C45/55	beton	1,2976e-01	1,0884e-01 3,5184e-02	6,9657e-04 1,3572e-02	6,9071e-03 2,2620e-02	0,0000e+00 0,0000e+00	
PPD_25-120	I ng 250; 1200; 1200; 55; 53; 160	C35/45	beton	1,5211e-01	1,2631e-01 4,2894e-02	1,3131e-03 1,5572e-02	1,0431e-02 2,5953e-02	0,0000e+00 0,0000e+00	

Zatěžovací stavy

Jméno	Popis	Typ působení	Skupina zatížení	Směr	Působení	Řídící zat. stav
	Spec	Typ zatížení				
g0	g0	Stálé Vlastní tíha	SZ1	-Z		

Jméno	Popis	Typ působení	Skupina zatížení	Směr	Působení	Řídicí zat. stav
	Spec	Typ zatížení				
g1	g1	Stálé	SZ1			
		Standard				
q1	q1	Proměnné	SZ2		Krátkodobé	Žádný
	Standard	Statické				
q2	q2	Proměnné	SZ2		Krátkodobé	Žádný
	Standard	Statické				
s	s	Proměnné	SZ3			Žádný
	Sníh	Statické				
3DVítr1	0, + CPE, + CPI	Proměnné	SZ4			Žádný
	Statický vítr	Statické				
3DVítr2	0, - CPE, - CPI	Proměnné	SZ4			Žádný
	Statický vítr	Statické				
3DVítr3	90, + CPE, + CPI	Proměnné	SZ4			Žádný
	Statický vítr	Statické				
3DVítr4	90, - CPE, - CPI	Proměnné	SZ4			Žádný
	Statický vítr	Statické				
3DVítr5	180, + CPE, + CPI	Proměnné	SZ4			Žádný
	Statický vítr	Statické				
3DVítr6	180, - CPE, - CPI	Proměnné	SZ4			Žádný
	Statický vítr	Statické				
3DVítr7	270, + CPE, + CPI	Proměnné	SZ4			Žádný
	Statický vítr	Statické				
3DVítr8	270, - CPE, - CPI	Proměnné	SZ4			Žádný
	Statický vítr	Statické				

Skupiny zatížení

Jméno	Zatížení	Vztah	Typ
SZ1	Stálé		
SZ2	Proměnné	Standard	Kat F : vozidlo <30kN
SZ3	Proměnné	Standard	Sníh
SZ4	Proměnné	Výběrová	Vítr

Kombinace

Jméno	Popis	Typ	Zatěžovací stavy	Souč. [-]
MSU	MSU	EN-MSÚ (STR/GEO) Soubor B	g0 - g0	1,00
			g1 - g1	1,00
			q1 - q1	1,00
			q2 - q2	1,00
			s - s	1,00
			3DVítr1 - 0, + CPE, + CPI	1,00
			3DVítr2 - 0, - CPE, - CPI	1,00
			3DVítr3 - 90, + CPE, + CPI	1,00
			3DVítr4 - 90, - CPE, - CPI	1,00
			3DVítr5 - 180, + CPE, + CPI	1,00
			3DVítr6 - 180, - CPE, - CPI	1,00
			3DVítr7 - 270, + CPE, + CPI	1,00
			3DVítr8 - 270, - CPE, - CPI	1,00
MSP char.	MSP char.	EN-MSP charakteristická	g0 - g0	1,00
			g1 - g1	1,00
			q1 - q1	1,00
			q2 - q2	1,00
			s - s	1,00
			3DVítr1 - 0, + CPE, + CPI	1,00
			3DVítr2 - 0, - CPE, - CPI	1,00
			3DVítr3 - 90, + CPE, + CPI	1,00
			3DVítr4 - 90, - CPE, - CPI	1,00
			3DVítr5 - 180, + CPE, + CPI	1,00
			3DVítr6 - 180, - CPE, - CPI	1,00
			3DVítr7 - 270, + CPE, + CPI	1,00
			3DVítr8 - 270, - CPE, - CPI	1,00

Klíč kombinace

Klíč kombinace

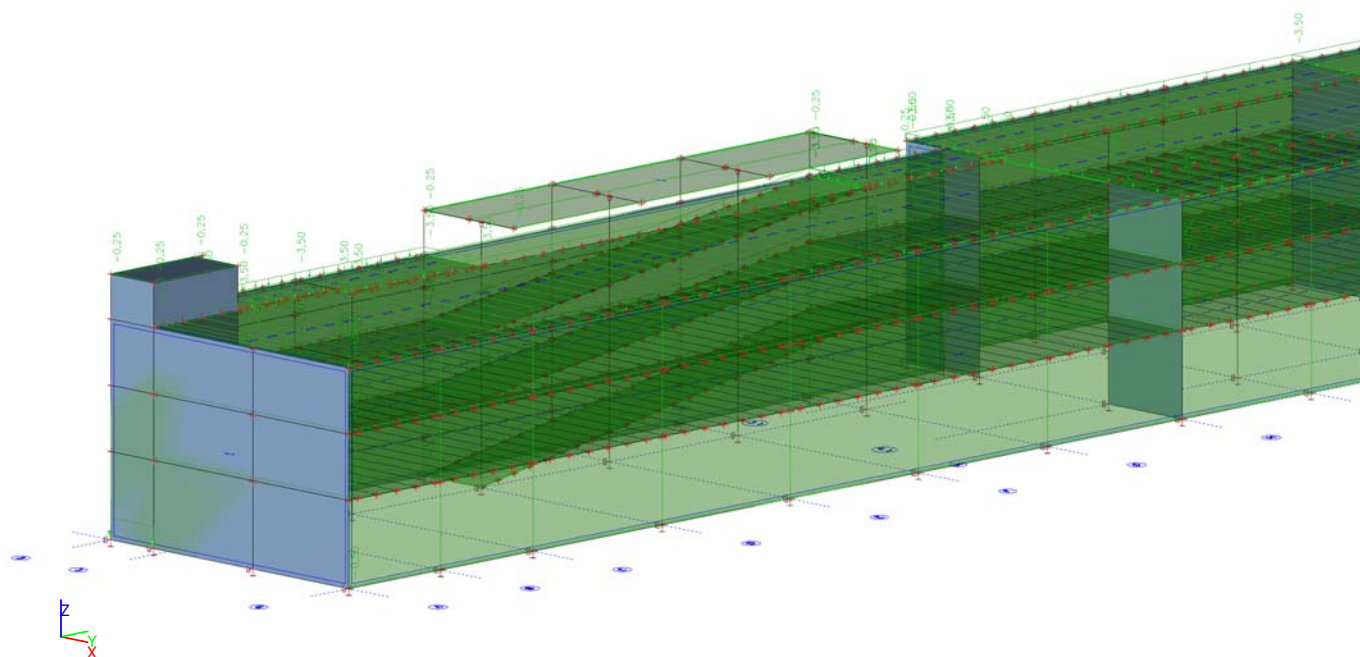
Jméno	Popis kombinací
1	g0*1,00 +g1*1,00 +3DVitr3*1,50
2	g0*1,35 +g1*1,35 +q1*1,05 +q2*1,05 +s*0,75 +3DVitr5*0,90
3	g0*1,00 +g1*1,00 +3DVitr2*1,50
4	g0*1,00 +g1*1,00 +q1*1,05 +q2*1,05 +3DVitr1*1,50
5	g0*1,35 +g1*1,35 +s*0,75 +3DVitr5*0,90
6	g0*1,35 +g1*1,35 +q1*1,05 +q2*1,05 +s*0,75 +3DVitr3*0,90
7	g0*1,35 +g1*1,35 +q1*1,05 +s*0,75 +3DVitr5*0,90
8	g0*1,00 +g1*1,00 +q2*1,05 +3DVitr3*1,50
9	g0*1,15 +g1*1,15 +q1*1,05 +q2*1,05 +s*0,75 +3DVitr5*1,50
10	g0*1,00 +g1*1,00 +3DVitr1*1,50
11	g0*1,35 +g1*1,35 +q1*1,05 +q2*1,05 +s*0,75 +3DVitr1*0,90
12	g0*1,00 +g1*1,00 +3DVitr6*1,50
13	g0*1,00 +g1*1,00 +q1*1,05 +q2*1,05 +3DVitr2*1,50
14	g0*1,15 +g1*1,15 +s*0,75 +3DVitr3*1,50
15	g0*1,15 +g1*1,15 +q1*1,05 +q2*1,05 +s*0,75 +3DVitr3*1,50
16	g0*1,15 +g1*1,15 +q1*1,05 +q2*1,05 +s*0,75 +3DVitr1*1,50
17	g0*1,00 +g1*1,00 +q2*1,05 +3DVitr4*1,50
18	g0*1,15 +g1*1,15 +q1*1,05 +s*0,75 +3DVitr5*1,50
19	g0*1,35 +g1*1,35 +q1*1,05 +q2*1,05 +s*0,75 +3DVitr4*0,90
20	g0*1,35 +g1*1,35 +q1*1,05 +q2*1,05 +s*0,75 +3DVitr7*0,90
21	g0*1,00 +g1*1,00 +q2*1,05 +3DVitr2*1,50
22	g0*1,15 +g1*1,15 +s*0,75 +3DVitr2*1,50
23	g0*1,00 +g1*1,00 +q1*1,05 +q2*1,05 +3DVitr6*1,50
24	g0*1,15 +g1*1,15 +q1*1,05 +q2*1,05 +3DVitr3*1,50
25	g0*1,15 +g1*1,15 +s*0,75 +3DVitr5*1,50
26	g0*1,15 +g1*1,15 +q1*1,05 +q2*1,05 +s*0,75 +3DVitr2*1,50
27	g0*1,00 +g1*1,00 +q1*1,50 +q2*1,50 +s*0,75 +3DVitr4*0,90
28	g0*1,15 +g1*1,15 +3DVitr1*1,50
29	g0*1,15 +g1*1,15 +q1*1,05 +3DVitr2*1,50
30	g0*1,00 +g1*1,00 +q2*1,05 +s*0,75 +3DVitr5*1,50
31	g0*1,15 +g1*1,15 +q2*1,50 +s*0,75 +3DVitr5*0,90
32	g0*1,00 +g1*1,00 +q1*1,05 +3DVitr2*1,50
33	g0*1,35 +g1*1,35 +q2*1,05 +s*0,75 +3DVitr5*0,90
34	g0*1,15 +g1*1,15 +q2*1,05 +s*0,75 +3DVitr3*1,50
35	g0*1,00 +g1*1,00 +3DVitr5*1,50
36	g0*1,35 +g1*1,35 +q1*1,05 +q2*1,05 +3DVitr4*0,90
37	g0*1,00 +g1*1,00 +s*0,75 +3DVitr1*1,50
38	g0*1,00 +g1*1,00 +q1*1,05 +q2*1,05 +s*0,75 +3DVitr5*1,50
39	g0*1,15 +g1*1,15 +3DVitr2*1,50
40	g0*1,15 +g1*1,15 +q2*1,05 +s*0,75 +3DVitr5*1,50
41	g0*1,00 +g1*1,00 +q1*1,05 +3DVitr1*1,50
42	g0*1,15 +g1*1,15 +q2*1,05 +s*0,75 +3DVitr6*1,50
43	g0*1,35 +g1*1,35 +q1*1,05 +q2*1,05 +s*0,75 +3DVitr6*0,90
44	g0*1,35 +g1*1,35 +q1*1,05 +q2*1,05 +s*0,75 +3DVitr2*0,90
45	g0*1,15 +g1*1,15 +q1*1,50 +q2*1,50 +3DVitr4*0,90
46	g0*1,00 +g1*1,00 +s*0,75 +3DVitr6*1,50
47	g0*1,00 +g1*1,00 +3DVitr8*1,50
48	g0*1,00 +g1*1,00 +q2*1,05 +3DVitr1*1,50
49	g0*1,15 +g1*1,15 +q1*1,05 +s*0,75 +3DVitr6*1,50
50	g0*1,15 +g1*1,15 +q1*1,05 +3DVitr1*1,50
51	g0*1,00 +g1*1,00 +q2*1,05 +s*0,75 +3DVitr6*1,50
52	g0*1,15 +g1*1,15 +q1*1,05 +s*0,75 +3DVitr1*1,50
53	g0*1,00 +g1*1,00 +q2*1,05 +3DVitr6*1,50
54	g0*1,00 +g1*1,00 +q2*1,05 +s*0,75 +3DVitr1*1,50
55	g0*1,15 +g1*1,15 +q1*1,05 +3DVitr6*1,50
56	g0*1,15 +g1*1,15 +q1*1,50 +q2*1,50 +s*0,75 +3DVitr3*0,90
57	g0*1,15 +g1*1,15 +q1*1,05 +q2*1,05 +3DVitr6*1,50
58	g0*1,00 +g1*1,00 +q2*1,05 +s*0,75 +3DVitr2*1,50
59	g0*1,00 +g1*1,00 +q1*1,05 +3DVitr6*1,50
60	g0*1,15 +g1*1,15 +q2*1,05 +s*0,75 +3DVitr1*1,50
61	g0*1,00 +g1*1,00 +q1*1,50 +q2*1,50 +s*0,75 +3DVitr1*0,90
62	g0*1,35 +g1*1,35 +3DVitr5*0,90
63	g0*1,00 +g1*1,00 +q1*1,05 +q2*1,05 +s*0,75 +3DVitr3*1,50

Jméno	Popis kombinací
64	g0*1,00 +g1*1,00 +q1*1,05 +3DVítr4*1,50
65	g0*1,15 +g1*1,15 +q2*1,05 +s*0,75 +3DVítr7*1,50
66	g0*1,00 +g1*1,00 +q2*1,05 +3DVítr7*1,50
67	g0*1,15 +g1*1,15 +q1*1,05 +s*0,75 +3DVítr4*1,50
68	g0*1,00 +g1*1,00 +s*0,75 +3DVítr2*1,50
69	g0*1,00 +g1*1,00 +s*0,75 +3DVítr7*1,50
70	g0*1,15 +g1*1,15 +q1*1,05 +q2*1,05 +3DVítr4*1,50
71	g0*1,00 +g1*1,00 +q1*1,05 +3DVítr5*1,50
72	g0*1,00 +g1*1,00 +3DVítr7*1,50
73	g0*1,15 +g1*1,15 +q1*1,05 +q2*1,05 +s*0,75 +3DVítr4*1,50
74	g0*1,15 +g1*1,15 +q1*1,50 +q2*1,50 +s*0,75 +3DVítr7*0,90
75	g0*1,00 +g1*1,00 +q1*1,05 +3DVítr8*1,50
76	g0*1,15 +g1*1,15 +q2*1,05 +3DVítr4*1,50
77	g0*1,00 +g1*1,00 +q1*1,05 +s*0,75 +3DVítr7*1,50
78	g0*1,15 +g1*1,15 +q2*1,05 +3DVítr2*1,50
79	g0*1,00 +g1*1,00 +q1*1,05 +s*0,75 +3DVítr5*1,50
80	g0*1,15 +g1*1,15 +q2*1,05 +3DVítr1*1,50
81	g0*1,35 +g1*1,35 +q1*1,05 +q2*1,05 +3DVítr2*0,90
82	g0*1,15 +g1*1,15 +q1*1,05 +s*0,75 +3DVítr7*1,50
83	g0*1,15 +g1*1,15 +q2*1,50 +s*0,75 +3DVítr2*0,90
84	g0*1,15 +g1*1,15 +q1*1,05 +q2*1,05 +3DVítr5*1,50
85	g0*1,15 +g1*1,15 +q1*1,05 +q2*1,05 +3DVítr2*1,50
86	g0*1,00 +g1*1,00 +s*0,75 +3DVítr5*1,50
87	g0*1,00 +g1*1,00 +q2*1,05 +3DVítr8*1,50
88	g0*1,15 +g1*1,15 +q1*1,05 +q2*1,05 +s*0,75 +3DVítr6*1,50
89	g0*1,00 +g1*1,00 +q1*1,05 +q2*1,05 +s*0,75 +3DVítr7*1,50
90	g0*1,35 +g1*1,35 +3DVítr2*0,90
91	g0*1,00 +g1*1,00 +q1*1,05 +q2*1,05 +3DVítr5*1,50
92	g0*1,15 +g1*1,15 +s*0,75 +3DVítr7*1,50
93	g0*1,00 +g1*1,00 +q2*1,05 +3DVítr5*1,50
94	g0*1,15 +g1*1,15 +q1*1,05 +3DVítr5*1,50
95	g0*1,15 +g1*1,15 +q1*1,50 +s*0,75 +3DVítr1*0,90
96	g0*1,15 +g1*1,15 +q1*1,50 +s*0,75 +3DVítr8*0,90
97	g0*1,00 +g1*1,00 +q2*1,05 +s*0,75 +3DVítr7*1,50
98	g0*1,00 +g1*1,00 +q2*1,05 +s*0,75 +3DVítr8*1,50
99	g0*1,00 +g1*1,00 +q1*1,05 +q2*1,05 +s*0,75 +3DVítr1*1,50
100	g0*1,35 +g1*1,35 +3DVítr6*0,90
101	g0*1,35 +g1*1,35 +q1*1,05 +q2*1,05 +s*0,75 +3DVítr8*0,90
102	g0*1,15 +g1*1,15 +q1*1,05 +q2*1,05 +s*0,75 +3DVítr8*1,50
103	g0*1,15 +g1*1,15 +q1*1,05 +3DVítr8*1,50
104	g0*1,35 +g1*1,35
105	g0*1,15 +g1*1,15 +q1*1,50 +q2*1,50 +s*0,75 +3DVítr1*0,90
106	g0*1,15 +g1*1,15 +q1*1,50 +3DVítr6*0,90
107	g0*1,15 +g1*1,15 +q1*1,50 +q2*1,50 +s*0,75 +3DVítr5*0,90

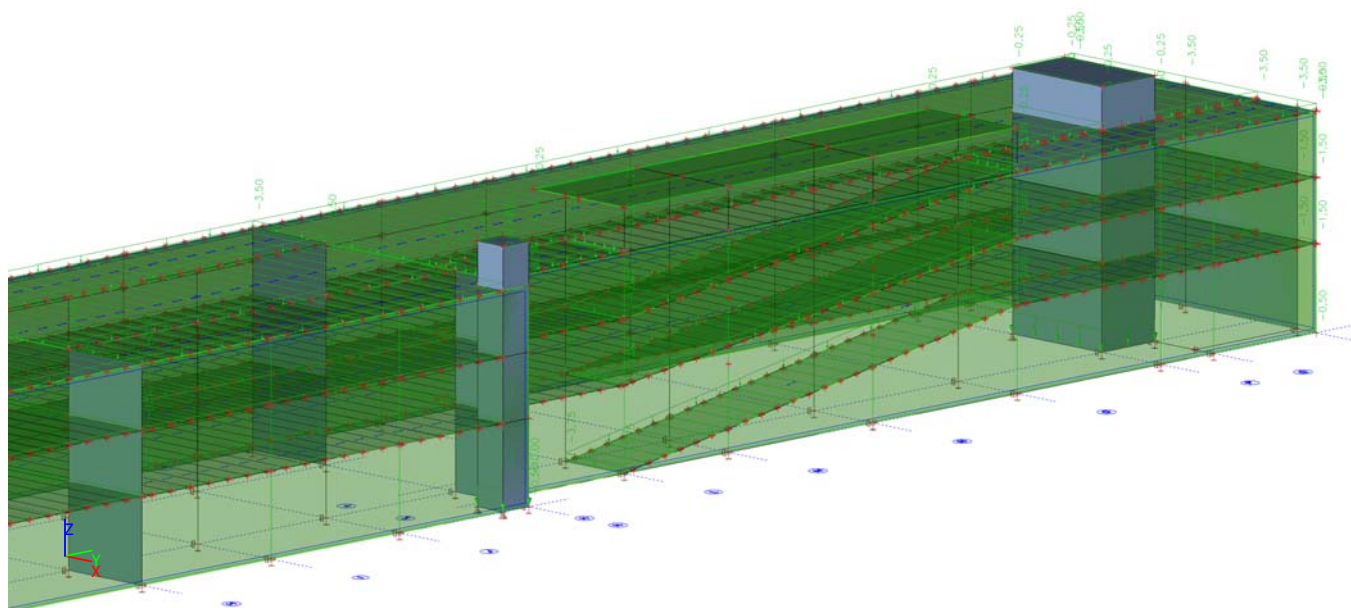
Zatížení po zatěžovacích stavech:

g0/ vlastní tíha/ generováno dle průřezů a materiálu/ ostatní zatěžovací stavy generovány ze zatěž. ploch a plošného zatížení

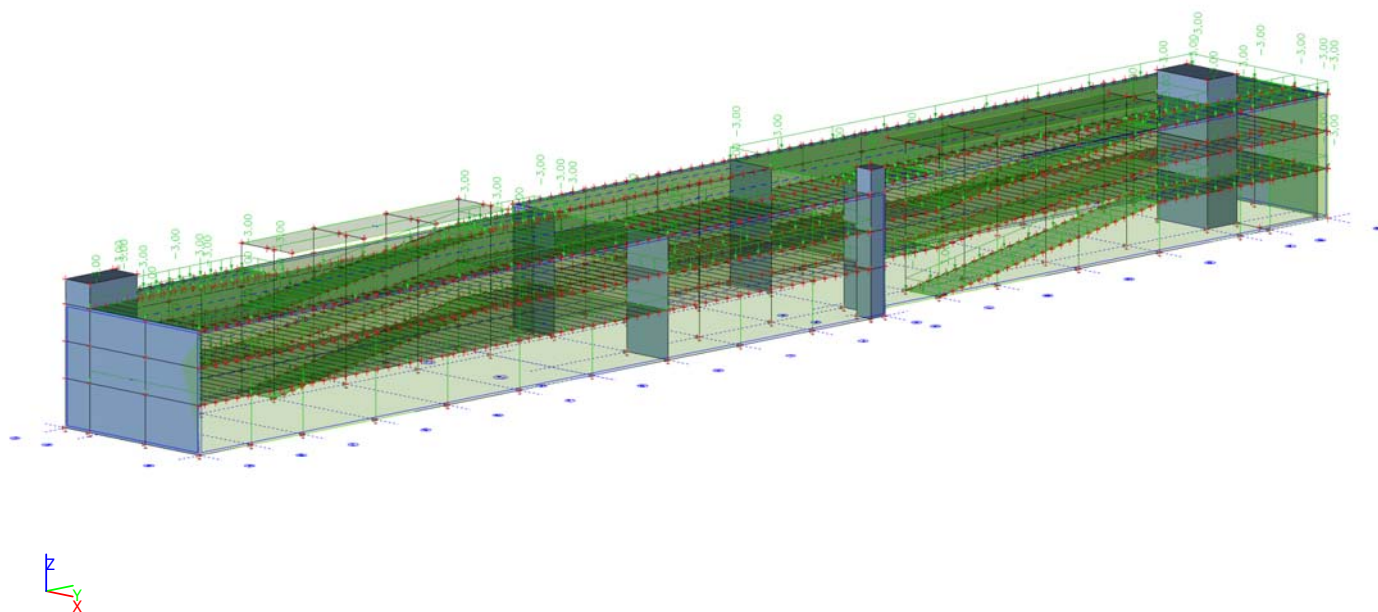
g1 / Hodnota pro výpočet / Hodnota -1



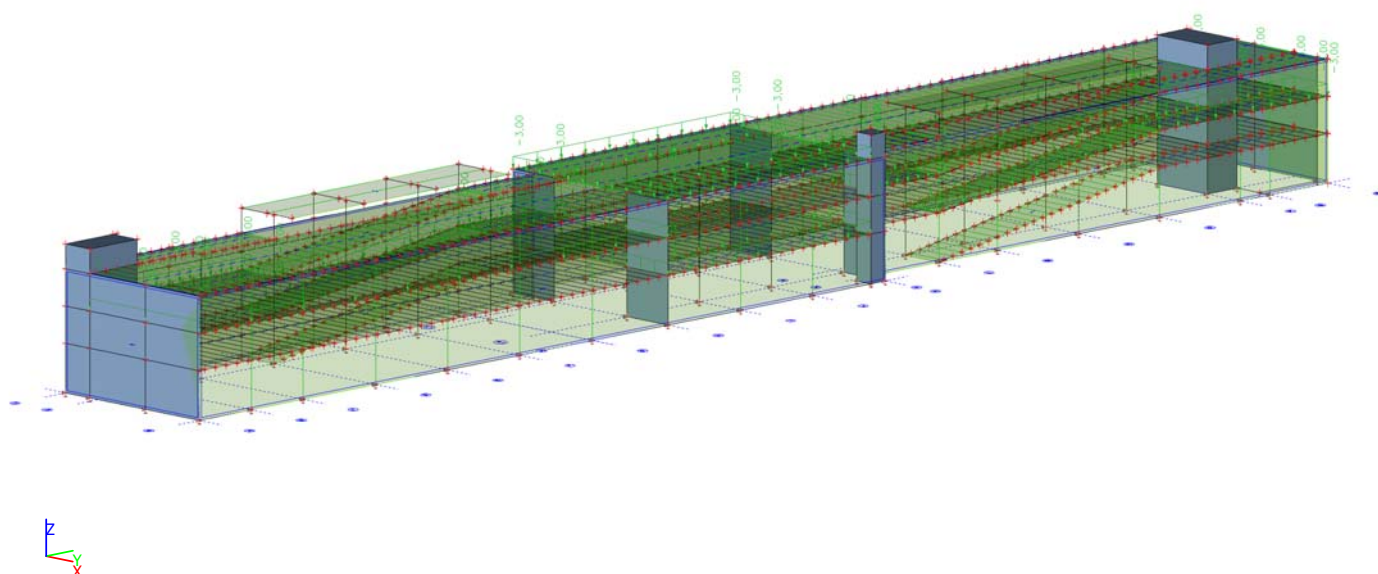
g1 / Hodnota pro výpočet / Hodnota -2



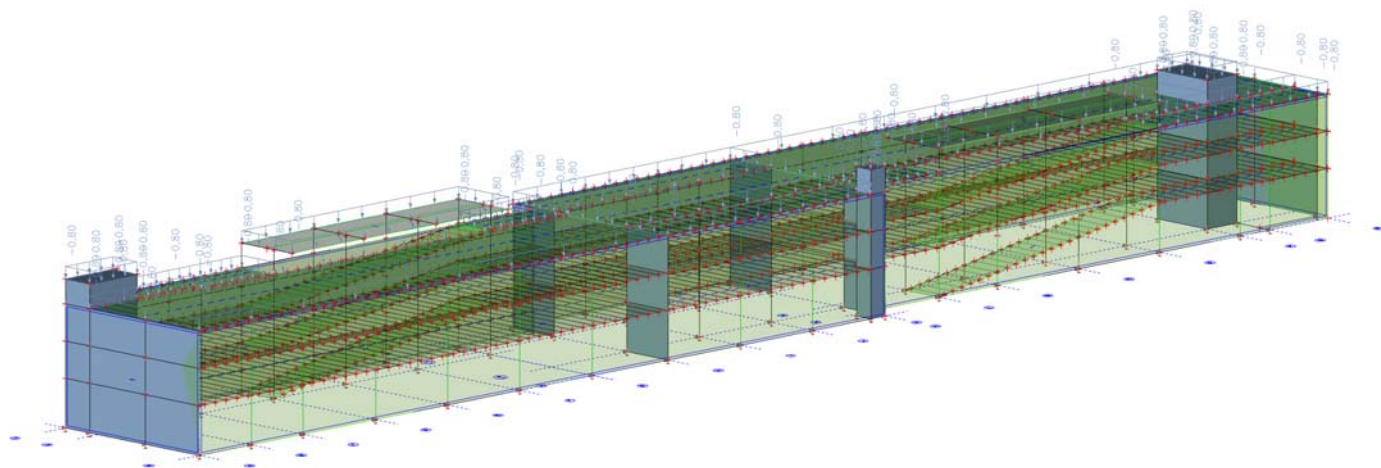
q1 / Hodnota pro výpočet / Hodnota - šach 1



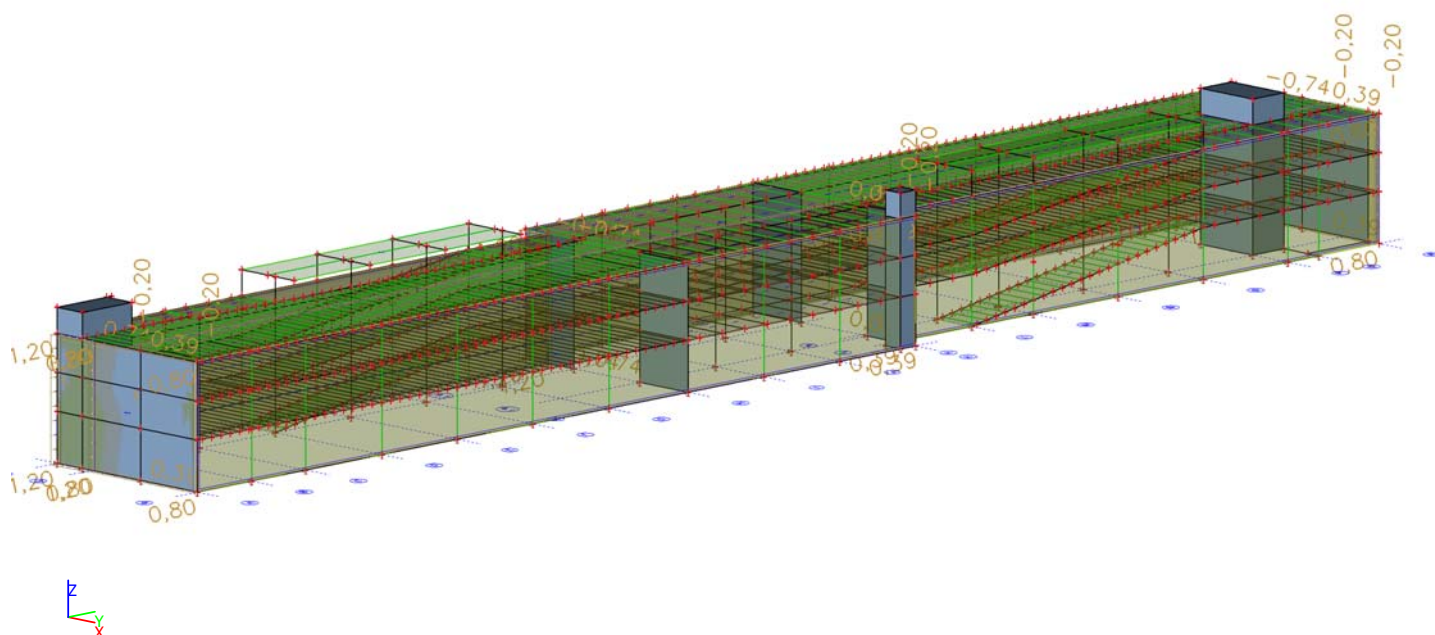
q2 / Hodnota pro výpočet / Hodnota - šach 2



s / Hodnota pro výpočet / Hodnota



3DVítr1 / Hodnota pro výpočet / Hodnota









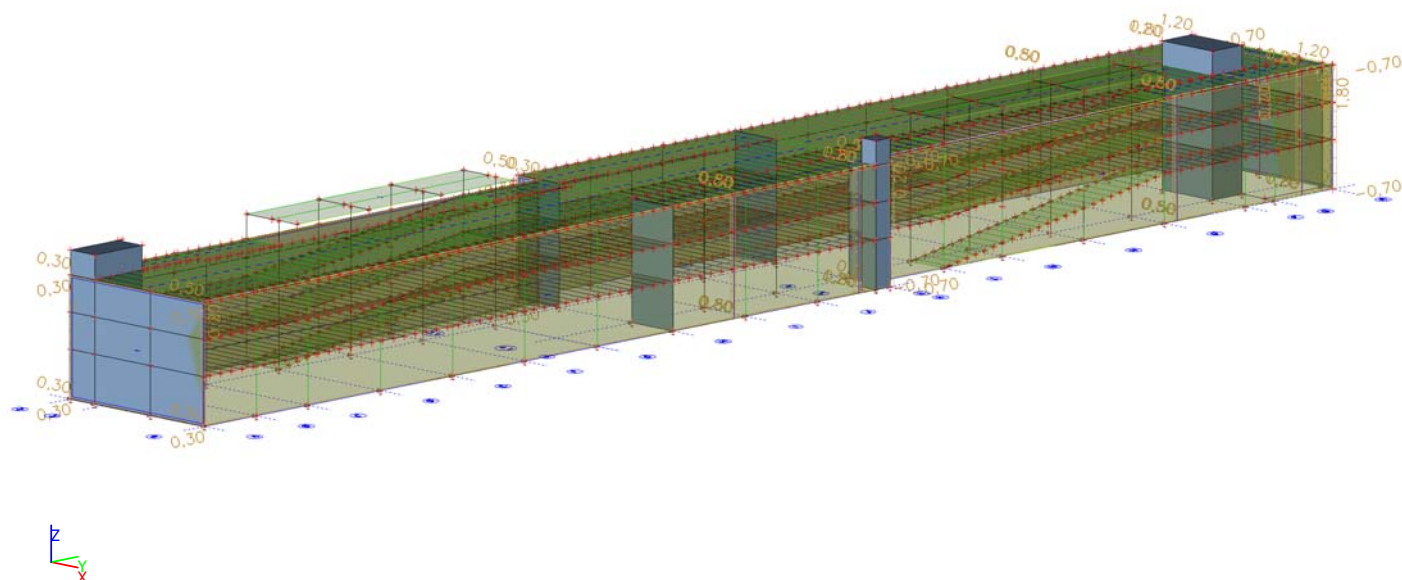


Schéma označení podpor:

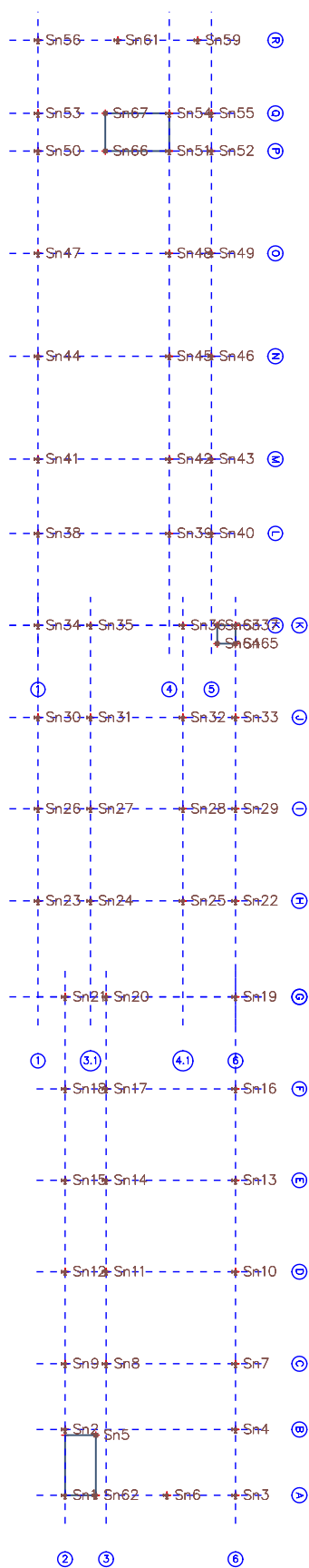
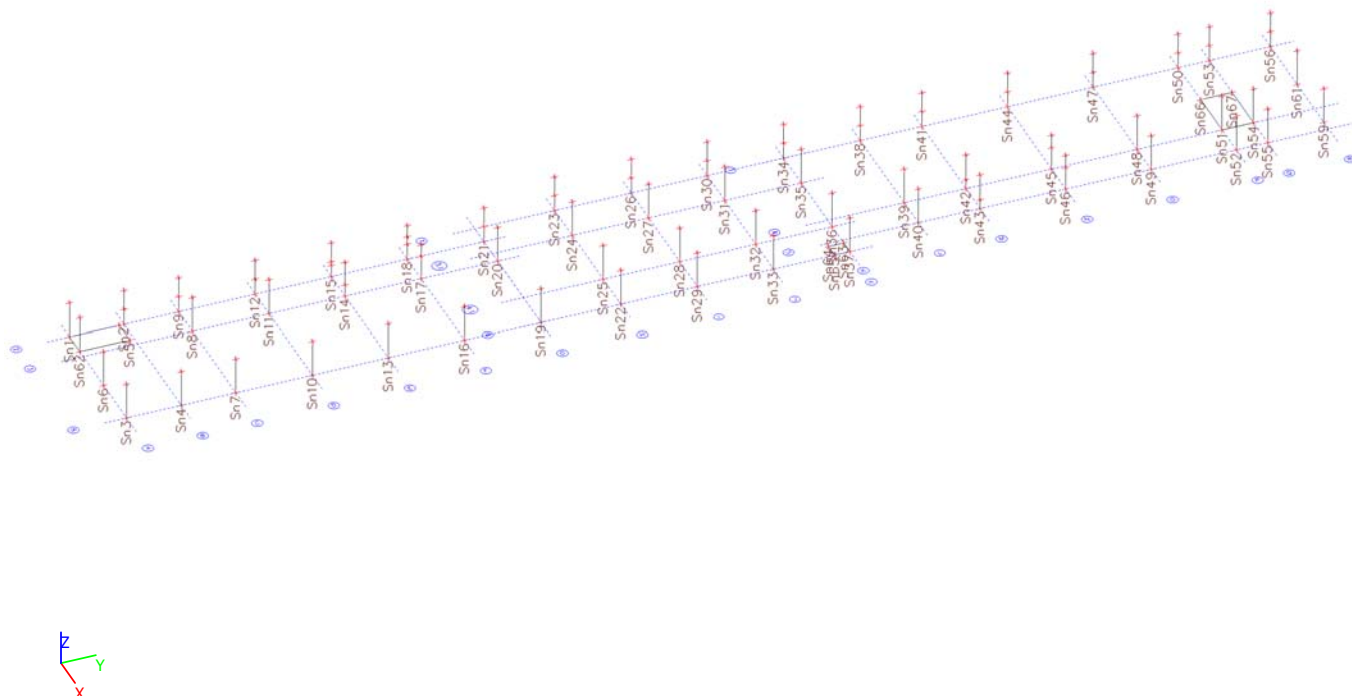


Schéma označení podpor - axonometrie:



Reakce MSU

Lineární výpočet, Extrém : Uzel
Výběr : Vše
Kombinace : MSU

Podpora	Stav	Rx [kN]	Ry [kN]	Rz [kN]	Mx [kNm]	My [kNm]
Sn1/N1	MSU/1	141,08	152,82	381,79	23,52	-12,46
Sn1/N1	MSU/2	232,69	274,55	635,53	33,33	-19,46
Sn1/N1	MSU/3	149,52	152,60	343,85	21,59	-12,54
Sn1/N1	MSU/4	170,07	176,98	323,45	23,63	-12,62
Sn1/N1	MSU/5	212,34	250,29	654,63	31,31	-19,37
Sn1/N1	MSU/6	218,58	244,18	527,10	33,61	-17,80
Sn1/N1	MSU/7	226,20	267,46	645,17	32,60	-19,49
Sn1/N1	MSU/8	147,58	159,91	372,15	24,25	-12,43
Sn2/N7	MSU/3	-0,22	-157,02	1007,43	-2,49	-6,86
Sn2/N7	MSU/9	26,40	-233,97	1616,92	-8,95	18,79
Sn2/N7	MSU/6	23,88	-278,61	1826,88	-6,03	11,62
Sn2/N7	MSU/2	25,51	-270,84	1832,80	-8,56	15,78
Sn2/N7	MSU/10	-0,18	-157,55	1010,90	-2,48	-6,84
Sn3/N3	MSU/11	-347,22	-1,40	1243,40	2,34	-12,44
Sn3/N3	MSU/12	-171,74	-0,93	693,68	-2,21	-1,75
Sn3/N3	MSU/13	-280,84	-2,36	978,11	-1,22	-11,53
Sn3/N3	MSU/14	-250,31	2,50	892,10	8,17	-9,00
Sn3/N3	MSU/3	-240,72	-1,92	821,77	-2,61	-10,39
Sn3/N3	MSU/15	-290,44	2,07	1048,44	9,57	-10,15
Sn3/N3	MSU/16	-316,39	-2,31	1107,82	-0,68	-12,65
Sn4/N5	MSU/17	-9,63	-1,15	1068,98	4,20	-7,17
Sn4/N5	MSU/18	16,49	-0,99	1339,75	3,80	21,56
Sn4/N5	MSU/19	-3,35	-1,45	1665,23	5,36	-1,09
Sn4/N5	MSU/10	-5,80	-0,20	984,40	0,91	-9,84
Sn4/N5	MSU/12	15,40	-0,72	951,78	2,77	20,05
Sn4/N5	MSU/20	-0,62	-1,14	1684,88	4,25	0,67
Sn4/N5	MSU/3	-5,81	-0,20	971,93	0,91	-9,85

Podpora	Stav	Rx [kN]	Ry [kN]	Rz [kN]	Mx [kNm]	My [kNm]
Sn4/N5	MSU/6	-3,35	-1,45	1666,37	5,37	-1,08
Sn4/N5	MSU/21	-5,97	-0,34	1082,24	1,38	-10,08
Sn6/N11	MSU/22	-30,87	52,65	906,73	-78,75	-4,69
Sn6/N11	MSU/23	27,90	57,51	841,60	-85,43	0,47
Sn6/N11	MSU/24	-2,63	-45,88	961,72	74,03	-2,87
Sn6/N11	MSU/25	26,24	57,51	854,68	-85,77	0,68
Sn6/N11	MSU/12	27,13	57,51	732,75	-86,16	1,04
Sn6/N11	MSU/11	-18,13	31,59	1162,09	-45,03	-4,56
Sn6/N11	MSU/15	-2,90	-45,88	969,70	74,08	-2,93
Sn6/N11	MSU/26	-30,10	52,65	1015,58	-78,01	-5,26
Sn7/N13	MSU/21	-9,14	0,85	1221,70	1,10	-17,86
Sn7/N13	MSU/18	23,73	0,47	1500,66	3,21	35,99
Sn7/N13	MSU/27	-2,12	-0,05	1632,99	4,34	2,73
Sn7/N13	MSU/28	-8,34	1,09	1284,63	0,94	-16,73
Sn7/N13	MSU/12	21,97	0,54	1078,70	2,29	33,21
Sn7/N13	MSU/20	0,87	0,56	1885,10	3,62	4,19
Sn7/N13	MSU/3	-8,92	1,01	1104,65	0,60	-17,61
Sn7/N13	MSU/6	-1,14	0,26	1882,36	4,68	4,14
Sn8/N15	MSU/29	-8,96	0,26	1555,46	0,48	-24,42
Sn8/N15	MSU/30	6,24	-0,64	1284,14	2,37	17,45
Sn8/N15	MSU/31	3,61	-0,68	1520,32	2,57	9,53
Sn8/N15	MSU/32	-8,80	0,30	1392,20	0,26	-24,03
Sn8/N15	MSU/3	-7,80	0,14	1070,72	0,33	-22,10
Sn8/N15	MSU/20	-2,61	-0,22	2006,59	1,92	-6,95
Sn8/N15	MSU/33	3,18	-0,65	1674,33	2,69	8,74
Sn9/N17	MSU/32	-15,48	2,38	1072,30	0,06	-19,09
Sn9/N17	MSU/34	12,21	2,19	1184,61	0,52	7,78
Sn9/N17	MSU/12	10,29	1,81	962,39	-0,25	14,22
Sn9/N17	MSU/11	-8,97	3,04	1480,63	0,26	-11,60
Sn9/N17	MSU/20	2,55	2,92	1488,34	0,23	0,04
Sn9/N17	MSU/35	10,30	1,82	968,30	-0,26	14,23
Sn9/N17	MSU/15	12,13	2,30	1291,77	0,68	7,37
Sn9/N17	MSU/29	-15,47	2,67	1216,35	0,07	-19,15
Sn9/N17	MSU/30	10,56	1,90	1032,19	-0,13	14,54
Sn10/N19	MSU/21	-11,18	-0,53	1408,20	1,85	-22,83
Sn10/N19	MSU/18	31,92	-0,82	1739,27	3,35	52,20
Sn10/N19	MSU/36	3,58	-1,35	2148,52	5,01	12,26
Sn10/N19	MSU/37	-10,78	-0,34	1309,31	1,33	-22,46
Sn10/N19	MSU/12	28,97	-0,64	1236,40	2,48	47,23
Sn10/N19	MSU/20	3,35	-1,08	2187,56	4,06	9,88
Sn10/N19	MSU/3	-10,89	-0,34	1265,18	1,30	-22,62
Sn10/N19	MSU/6	3,70	-1,35	2187,48	5,04	12,44
Sn11/N21	MSU/3	-9,47	23,32	1600,18	1,16	-23,70
Sn11/N21	MSU/9	29,05	45,92	2384,96	5,48	59,19
Sn11/N21	MSU/2	23,87	48,80	2728,50	5,67	46,83
Sn11/N21	MSU/12	24,64	33,14	1547,26	3,87	54,59
Sn11/N21	MSU/20	11,82	47,96	2769,05	4,66	19,41
Sn12/N23	MSU/29	-28,46	30,65	1365,35	1,25	-27,11
Sn12/N23	MSU/30	14,57	6,17	1214,51	1,34	32,19
Sn12/N23	MSU/38	13,96	3,78	1311,94	1,69	32,45
Sn12/N23	MSU/39	-27,85	33,04	1267,92	0,90	-27,37
Sn12/N23	MSU/3	-27,32	30,65	1100,38	0,73	-27,98
Sn12/N23	MSU/2	5,79	12,69	1697,89	2,06	23,03
Sn12/N23	MSU/6	1,42	13,86	1683,32	2,21	11,23
Sn12/N23	MSU/9	13,44	6,17	1479,48	1,85	33,06
Sn13/N25	MSU/21	-10,35	-0,66	1402,71	2,34	-23,34
Sn13/N25	MSU/18	32,04	-0,73	1731,32	3,15	54,69
Sn13/N25	MSU/36	4,45	-1,33	2139,45	5,06	13,18
Sn13/N25	MSU/37	-10,07	-0,46	1304,24	1,79	-23,03
Sn13/N25	MSU/12	29,69	-0,54	1230,28	2,27	50,82
Sn13/N25	MSU/20	3,48	-1,08	2178,52	4,19	10,04
Sn13/N25	MSU/3	-10,12	-0,46	1260,30	1,76	-23,08
Sn13/N25	MSU/6	4,51	-1,33	2178,41	5,09	13,24
Sn14/N27	MSU/29	-26,61	-11,62	2419,20	11,92	-34,49
Sn14/N27	MSU/30	8,74	-12,37	2034,23	12,04	35,84
Sn14/N27	MSU/2	0,62	-17,35	3054,65	17,29	22,58

Podpora	Stav	Rx [kN]	Ry [kN]	Rz [kN]	Mx [kNm]	My [kNm]
Sn14/N27	MSU/3	-25,44	-7,93	1773,68	8,18	-33,62
Sn14/N27	MSU/6	-3,72	-16,34	3075,44	16,71	6,52
Sn14/N27	MSU/32	-25,74	-10,16	2150,19	10,44	-34,94
Sn14/N27	MSU/40	7,86	-13,84	2303,24	13,51	36,29
Sn15/N29	MSU/41	-10,22	-5,86	1316,05	4,48	-17,49
Sn15/N29	MSU/42	10,65	-13,93	1454,46	9,47	20,64
Sn15/N29	MSU/43	6,70	-15,34	1793,69	10,78	13,31
Sn15/N29	MSU/3	-9,46	-4,80	1224,29	3,61	-16,52
Sn15/N29	MSU/12	10,11	-12,09	1221,95	8,07	20,01
Sn15/N29	MSU/44	-5,04	-10,97	1795,09	8,10	-8,60
Sn15/N29	MSU/32	-10,22	-5,85	1316,06	4,47	-17,49
Sn16/N31	MSU/21	-10,66	-0,80	1411,49	2,86	-23,84
Sn16/N31	MSU/18	29,56	-0,63	1741,97	2,96	48,91
Sn16/N31	MSU/45	2,03	-1,33	2078,71	5,09	8,32
Sn16/N31	MSU/46	28,13	-0,45	1264,92	2,08	46,79
Sn16/N31	MSU/12	28,12	-0,45	1237,60	2,05	46,78
Sn16/N31	MSU/20	1,96	-1,10	2192,20	4,35	6,86
Sn16/N31	MSU/47	-4,73	-0,50	1270,63	2,04	-1,41
Sn16/N31	MSU/6	2,97	-1,32	2192,08	5,18	9,99
Sn16/N31	MSU/48	-10,66	-0,80	1428,42	2,86	-23,85
Sn16/N31	MSU/49	29,56	-0,63	1741,33	2,95	48,92
Sn17/N33	MSU/29	-19,88	-5,79	2432,30	9,16	-38,27
Sn17/N33	MSU/30	6,23	-5,54	2045,06	8,35	26,86
Sn17/N33	MSU/2	-0,26	-8,01	3070,90	12,32	12,69
Sn17/N33	MSU/3	-18,95	-3,97	1783,33	6,39	-36,84
Sn17/N33	MSU/6	-4,92	-7,51	3091,78	11,93	-2,56
Sn17/N33	MSU/50	-19,88	-5,80	2440,54	9,18	-38,28
Sn17/N33	MSU/51	6,23	-5,52	2030,00	8,32	26,86
Sn18/N35	MSU/52	-15,90	1,42	1514,72	0,56	-21,47
Sn18/N35	MSU/53	10,43	3,20	1275,51	-0,12	18,01
Sn18/N35	MSU/54	-15,33	1,07	1285,93	0,43	-20,59
Sn18/N35	MSU/55	9,85	3,55	1504,30	0,02	17,14
Sn18/N35	MSU/12	10,24	3,22	1229,55	-0,28	17,85
Sn18/N35	MSU/11	-9,87	2,13	1809,14	0,78	-13,09
Sn18/N35	MSU/56	2,57	2,13	1618,87	1,14	1,31
Sn19/N37	MSU/54	-9,80	-0,78	1481,10	3,33	-17,79
Sn19/N37	MSU/55	25,83	-0,40	1745,23	2,79	37,32
Sn19/N37	MSU/45	1,13	-1,19	2114,71	5,22	7,07
Sn19/N37	MSU/46	24,08	-0,24	1288,56	1,93	34,62
Sn19/N37	MSU/12	24,09	-0,24	1260,80	1,90	34,67
Sn19/N37	MSU/20	0,93	-0,93	2230,22	4,50	5,73
Sn19/N37	MSU/6	1,67	-1,14	2230,21	5,28	7,92
Sn20/N39	MSU/37	-3,23	-1,09	1674,36	3,05	-16,24
Sn20/N39	MSU/57	9,23	1,39	2447,23	-0,16	19,52
Sn20/N39	MSU/58	-3,19	-1,18	1859,81	3,31	-16,29
Sn20/N39	MSU/55	9,19	1,48	2253,33	-0,43	19,59
Sn20/N39	MSU/12	7,23	1,20	1621,63	-0,54	18,25
Sn20/N39	MSU/6	4,65	0,41	2869,70	1,88	4,08
Sn20/N39	MSU/59	8,89	1,46	2008,01	-0,62	19,38
Sn20/N39	MSU/60	-2,89	-1,16	2113,59	3,51	-16,09
Sn20/N39	MSU/54	-3,19	-1,18	1868,27	3,32	-16,31
Sn21/N41	MSU/52	-28,84	10,05	1437,11	-1,38	-31,42
Sn21/N41	MSU/17	10,43	8,80	1235,48	0,02	10,69
Sn21/N41	MSU/61	-19,53	8,52	1382,17	-0,51	-20,42
Sn21/N41	MSU/62	3,19	12,60	1613,55	-0,99	8,40
Sn21/N41	MSU/3	-26,52	8,86	1159,19	-1,62	-29,20
Sn21/N41	MSU/2	1,65	12,32	1764,00	-0,41	6,95
Sn21/N41	MSU/39	-27,05	10,20	1334,94	-1,75	-29,51
Sn21/N41	MSU/63	8,62	8,66	1344,26	0,39	8,76
Sn21/N41	MSU/53	10,00	9,59	1246,58	-0,34	17,08
Sn22/N43	MSU/11	-497,62	-2,33	2111,54	6,66	-14,78
Sn22/N43	MSU/12	-173,64	-0,93	945,07	2,70	9,12
Sn22/N43	MSU/36	-448,75	-2,45	1957,22	7,12	-8,30
Sn22/N43	MSU/46	-181,01	-0,92	969,93	2,74	8,71
Sn22/N43	MSU/6	-458,98	-2,44	1992,12	7,16	-8,86
Sn22/N43	MSU/16	-471,92	-2,09	1947,76	5,95	-18,22

Podpora	Stav	Rx [kN]	Ry [kN]	Rz [kN]	Mx [kNm]	My [kNm]
Sn23/N45	MSU/3	278,21	5,38	795,73	-1,18	4,00
Sn23/N45	MSU/2	643,55	4,64	1719,19	-0,11	36,26
Sn23/N45	MSU/64	429,87	0,68	1132,03	1,67	23,06
Sn23/N45	MSU/60	396,66	6,19	1083,15	-1,30	10,81
Sn23/N45	MSU/65	471,51	5,40	1268,32	-2,20	22,09
Sn23/N45	MSU/9	598,42	4,16	1597,26	0,19	37,35
Sn24/N47	MSU/11	-569,62	0,31	2387,94	0,77	-3,21
Sn24/N47	MSU/12	-249,11	0,50	1124,59	0,77	6,22
Sn24/N47	MSU/32	-439,18	-0,29	1754,48	0,94	-7,07
Sn24/N47	MSU/65	-430,63	1,10	1827,27	-0,66	-0,34
Sn24/N47	MSU/66	-378,17	1,04	1601,01	-0,73	-0,49
Sn24/N47	MSU/67	-402,72	-0,13	1763,32	1,70	2,18
Sn24/N47	MSU/39	-445,29	-0,05	1729,43	0,68	-8,02
Sn24/N47	MSU/38	-337,22	0,60	1587,92	0,83	8,27
Sn25/N49	MSU/3	181,93	-0,47	509,35	2,28	-0,37
Sn25/N49	MSU/43	466,33	0,13	1321,72	2,43	13,82
Sn25/N49	MSU/29	257,54	-0,62	712,12	3,06	1,42
Sn25/N49	MSU/30	368,31	0,44	1051,73	0,99	13,73
Sn25/N49	MSU/12	326,59	0,29	900,30	0,86	13,78
Sn25/N49	MSU/19	423,17	-0,21	1215,47	3,40	9,32
Sn25/N49	MSU/68	185,75	-0,46	523,27	2,29	-0,44
Sn25/N49	MSU/57	440,41	0,27	1241,21	1,74	15,64
Sn26/N51	MSU/60	-21,38	0,64	1279,67	0,13	-26,21
Sn26/N51	MSU/64	14,23	-0,77	1076,74	1,76	9,17
Sn26/N51	MSU/65	4,07	0,89	1304,61	-1,02	-2,87
Sn26/N51	MSU/10	-19,25	0,56	1001,13	0,06	-22,51
Sn26/N51	MSU/2	1,81	-0,23	1568,21	1,01	-0,46
Sn26/N51	MSU/69	6,19	0,81	1037,14	-1,10	0,81
Sn26/N51	MSU/70	12,11	-0,69	1344,20	1,83	5,49
Sn26/N51	MSU/59	8,54	-0,57	1077,21	1,20	9,41
Sn27/N53	MSU/60	-2,28	-0,31	1405,30	1,16	-6,03
Sn27/N53	MSU/71	1,37	-0,31	1107,59	1,21	3,57
Sn27/N53	MSU/70	-0,26	-0,53	1561,26	1,88	-0,60
Sn27/N53	MSU/69	-0,58	0,04	991,74	0,03	-1,54
Sn27/N53	MSU/3	-1,75	-0,28	911,74	0,97	-5,00
Sn27/N53	MSU/56	-0,51	-0,45	1815,31	1,70	-1,29
Sn27/N53	MSU/72	-0,58	0,04	961,20	0,03	-1,53
Sn27/N53	MSU/73	-0,27	-0,52	1591,81	1,89	-0,61
Sn28/N55	MSU/41	-0,99	-0,71	1107,32	2,32	-2,99
Sn28/N55	MSU/40	2,67	-0,46	1404,99	1,75	6,71
Sn28/N55	MSU/36	1,37	-0,95	1756,96	3,28	3,10
Sn28/N55	MSU/46	2,09	-0,25	942,05	1,12	5,61
Sn28/N55	MSU/12	2,08	-0,25	911,51	1,11	5,61
Sn28/N55	MSU/74	1,01	-0,74	1814,86	2,58	2,04
Sn28/N55	MSU/19	1,38	-0,94	1787,49	3,29	3,10
Sn29/N57	MSU/75	-9,61	-0,58	668,48	2,49	-4,24
Sn29/N57	MSU/40	22,79	-0,83	811,11	3,07	29,43
Sn29/N57	MSU/36	1,65	-1,37	1000,86	5,12	9,33
Sn29/N57	MSU/46	20,48	-0,44	604,04	1,92	25,23
Sn29/N57	MSU/35	20,47	-0,44	592,97	1,91	25,23
Sn29/N57	MSU/11	0,85	-1,32	1017,26	4,85	4,47
Sn29/N57	MSU/12	20,46	-0,44	592,97	1,90	25,22
Sn29/N57	MSU/6	1,68	-1,36	1016,66	5,15	9,35
Sn29/N57	MSU/32	-6,25	-0,84	669,11	3,22	-6,49
Sn30/N59	MSU/60	-20,27	0,15	1281,28	0,44	-22,65
Sn30/N59	MSU/64	12,08	-0,69	1077,80	1,67	9,57
Sn30/N59	MSU/76	9,71	-0,74	1287,49	1,75	5,94
Sn30/N59	MSU/77	7,19	0,70	1096,45	-1,01	3,80
Sn30/N59	MSU/3	-18,51	0,18	1002,13	0,33	-19,95
Sn30/N59	MSU/2	2,66	-0,33	1570,23	1,07	3,25
Sn30/N59	MSU/69	6,58	0,68	1038,11	-1,05	2,90
Sn30/N59	MSU/70	10,33	-0,72	1345,83	1,79	6,84
Sn30/N59	MSU/78	-20,26	0,15	1270,16	0,44	-22,68
Sn30/N59	MSU/79	8,81	-0,49	1097,38	1,22	11,52
Sn31/N61	MSU/80	-1,97	-0,59	1377,11	1,73	-4,53
Sn31/N61	MSU/79	1,46	-0,31	1139,94	1,24	4,55

Podpora	Stav	Rx [kN]	Ry [kN]	Rz [kN]	Mx [kNm]	My [kNm]
Sn31/N61	MSU/70	-0,05	-0,67	1563,86	2,19	0,83
Sn31/N61	MSU/69	-0,44	-0,06	993,22	0,24	-0,55
Sn31/N61	MSU/3	-1,55	-0,45	913,15	1,36	-3,91
Sn31/N61	MSU/56	-0,25	-0,64	1818,50	2,09	0,37
Sn31/N61	MSU/72	-0,44	-0,06	962,61	0,23	-0,57
Sn31/N61	MSU/73	-0,05	-0,67	1594,46	2,20	0,84
Sn31/N61	MSU/21	-1,95	-0,54	1234,53	1,59	-4,56
Sn31/N61	MSU/18	1,44	-0,36	1280,80	1,39	4,59
Sn32/N63	MSU/32	-0,95	-0,74	1092,48	2,41	-2,07
Sn32/N63	MSU/40	2,57	-0,81	1405,45	2,50	7,32
Sn32/N63	MSU/36	1,31	-1,21	1757,85	3,85	4,09
Sn32/N63	MSU/69	0,34	-0,43	992,27	1,38	1,20
Sn32/N63	MSU/12	2,04	-0,45	911,86	1,59	6,11
Sn32/N63	MSU/74	0,94	-1,00	1815,68	3,12	3,02
Sn32/N63	MSU/47	0,33	-0,44	939,92	1,37	1,17
Sn32/N63	MSU/19	1,31	-1,21	1788,40	3,86	4,11
Sn33/N65	MSU/75	-9,61	-1,44	606,15	2,80	-1,87
Sn33/N65	MSU/40	21,68	-1,74	735,12	3,23	30,41
Sn33/N65	MSU/81	1,87	-2,50	907,33	5,30	8,38
Sn33/N65	MSU/46	19,39	-1,22	548,19	2,05	25,84
Sn33/N65	MSU/35	19,37	-1,23	538,23	2,04	25,80
Sn33/N65	MSU/11	1,89	-2,50	921,55	5,33	8,45
Sn33/N65	MSU/12	19,37	-1,23	538,24	2,03	25,79
Sn33/N65	MSU/6	2,78	-2,48	920,96	5,48	13,16
Sn33/N65	MSU/32	-4,96	-1,75	606,75	3,68	-3,04
Sn34/N67	MSU/3	223,36	0,29	1381,08	0,54	-8,56
Sn34/N67	MSU/2	546,71	-0,42	2662,92	1,41	13,66
Sn34/N67	MSU/53	408,15	-0,80	1922,78	1,65	14,40
Sn34/N67	MSU/82	405,47	0,75	2060,77	-0,99	6,23
Sn34/N67	MSU/69	316,35	0,64	1620,10	-1,08	4,68
Sn34/N67	MSU/70	461,34	-0,68	2248,58	2,06	10,42
Sn34/N67	MSU/9	507,73	-0,68	2401,30	1,74	16,51
Sn35/N69	MSU/44	-488,02	-1,64	1250,71	3,47	-14,24
Sn35/N69	MSU/12	-222,14	-0,62	534,32	1,76	-1,95
Sn35/N69	MSU/83	-411,09	-1,66	1080,21	3,23	-11,90
Sn35/N69	MSU/75	-313,46	-0,51	783,46	0,89	-7,86
Sn35/N69	MSU/72	-281,65	-0,53	709,91	0,74	-7,12
Sn35/N69	MSU/73	-375,36	-1,55	972,15	3,65	-7,05
Sn35/N69	MSU/29	-421,17	-1,20	1046,44	2,73	-15,89
Sn35/N69	MSU/51	-257,83	-1,02	664,67	2,38	-1,48
Sn36/N71	MSU/3	141,94	-2,33	757,84	3,32	-1,94
Sn36/N71	MSU/2	386,30	-3,55	1771,85	5,43	7,50
Sn36/N71	MSU/6	354,87	-4,13	1687,49	6,11	4,82
Sn36/N71	MSU/12	276,59	-1,55	1160,60	2,84	8,63
Sn36/N71	MSU/47	196,91	-1,96	939,30	2,31	2,39
Sn36/N71	MSU/54	171,20	-3,20	930,37	4,44	-2,35
Sn36/N71	MSU/55	341,86	-2,00	1480,12	3,58	9,40
Sn37/N73	MSU/11	-177,39	-88,42	571,77	-18,14	16,52
Sn37/N73	MSU/12	-58,21	-20,65	175,42	-5,01	16,76
Sn37/N73	MSU/16	-174,11	-91,40	581,52	-16,97	12,28
Sn37/N73	MSU/35	-58,44	-20,51	175,00	-5,02	16,76
Sn37/N73	MSU/3	-127,65	-76,30	474,72	-12,88	8,23
Sn37/N73	MSU/43	-135,05	-54,73	390,26	-13,38	21,61
Sn38/N75	MSU/29	-21,64	-0,91	1996,75	0,82	-30,29
Sn38/N75	MSU/30	10,94	-1,86	1703,90	1,84	19,91
Sn38/N75	MSU/84	9,60	-2,04	2169,84	1,99	18,06
Sn38/N75	MSU/69	4,72	-0,33	1577,61	-0,80	0,52
Sn38/N75	MSU/3	-20,32	-0,73	1505,82	0,67	-28,48
Sn38/N75	MSU/6	1,18	-1,88	2508,10	1,69	-0,81
Sn38/N75	MSU/70	4,98	-1,95	2156,89	2,08	2,66
Sn39/N77	MSU/85	-17,82	85,56	2240,44	2,68	-37,58
Sn39/N77	MSU/86	-4,01	52,40	1524,75	-0,48	3,32
Sn39/N77	MSU/12	-4,03	51,05	1478,42	-0,45	3,35
Sn39/N77	MSU/20	-15,10	108,16	2624,13	0,10	-24,99
Sn39/N77	MSU/30	-4,19	58,02	1701,20	-0,73	2,89
Sn39/N77	MSU/29	-17,64	79,94	2063,99	2,94	-37,14

Podpora	Stav	Rx [kN]	Ry [kN]	Rz [kN]	Mx [kNm]	My [kNm]
Sn39/N77	MSU/16	-17,80	87,12	2289,06	2,65	-37,63
Sn39/N77	MSU/35	-4,02	51,23	1485,88	-0,45	3,36
Sn40/N79	MSU/87	-6,01	12,22	724,48	5,98	-11,43
Sn40/N79	MSU/18	29,78	18,88	873,06	8,19	28,08
Sn40/N79	MSU/3	-5,65	-24,66	670,65	7,59	-17,74
Sn40/N79	MSU/88	29,53	20,98	914,24	8,08	27,73
Sn40/N79	MSU/20	3,05	12,88	1056,39	8,34	-5,13
Sn40/N79	MSU/89	-3,99	13,80	818,52	5,65	-9,77
Sn40/N79	MSU/90	1,34	-11,57	915,53	9,67	-10,43
Sn40/N79	MSU/21	-5,89	-22,58	711,81	7,48	-18,07
Sn41/N81	MSU/52	-27,34	1,20	2151,13	0,31	-43,50
Sn41/N81	MSU/53	12,20	0,27	1770,11	1,29	24,06
Sn41/N81	MSU/91	11,31	0,26	2066,60	1,34	22,64
Sn41/N81	MSU/92	4,14	1,80	1921,61	-1,36	-1,90
Sn41/N81	MSU/3	-25,86	1,05	1600,64	0,26	-41,06
Sn41/N81	MSU/6	0,28	0,88	2669,71	0,90	-3,72
Sn41/N81	MSU/69	4,72	1,65	1678,57	-1,36	-0,92
Sn41/N81	MSU/70	5,24	0,41	2295,94	1,39	1,91
Sn41/N81	MSU/93	12,20	0,27	1786,52	1,30	24,07
Sn42/N83	MSU/54	-7,08	-13,17	2034,18	9,49	-31,87
Sn42/N83	MSU/55	27,27	-12,86	2417,07	9,03	28,22
Sn42/N83	MSU/11	0,97	-18,60	3049,63	12,89	-21,25
Sn42/N83	MSU/12	25,95	-8,94	1776,40	6,33	27,77
Sn42/N83	MSU/6	6,93	-17,56	3069,42	12,02	-4,33
Sn42/N83	MSU/60	-6,11	-14,77	2303,47	10,56	-32,49
Sn42/N83	MSU/71	26,29	-11,28	2155,57	7,97	28,84
Sn43/N85	MSU/80	-8,38	-8,18	973,88	7,04	-17,61
Sn43/N85	MSU/79	6,44	-1,30	906,92	1,46	14,71
Sn43/N85	MSU/26	-7,78	-9,19	1071,07	7,67	-16,82
Sn43/N85	MSU/12	5,84	-0,29	809,70	0,83	13,92
Sn43/N85	MSU/3	-7,91	-7,49	808,64	6,51	-17,09
Sn43/N85	MSU/43	2,64	-4,03	1235,42	3,48	7,02
Sn43/N85	MSU/60	-8,38	-8,22	979,97	7,06	-17,61
Sn43/N85	MSU/71	6,44	-1,26	900,83	1,43	14,71
Sn44/N87	MSU/52	-29,88	-0,53	2496,00	0,87	-47,49
Sn44/N87	MSU/53	13,91	-0,59	2053,29	1,54	25,60
Sn44/N87	MSU/76	7,41	-0,81	2338,19	1,61	3,61
Sn44/N87	MSU/77	5,38	0,54	2273,19	-1,13	-1,89
Sn44/N87	MSU/3	-28,74	-0,54	1855,53	0,81	-45,21
Sn44/N87	MSU/6	1,31	-0,59	3098,61	1,21	-3,93
Sn44/N87	MSU/69	5,90	0,52	1946,43	-1,15	-0,79
Sn44/N87	MSU/70	6,89	-0,79	2664,95	1,63	2,51
Sn44/N87	MSU/93	13,90	-0,59	2072,43	1,54	25,60
Sn45/N89	MSU/54	-4,98	-7,57	2352,30	9,20	-25,53
Sn45/N89	MSU/55	23,12	-8,30	2794,29	10,00	39,33
Sn45/N89	MSU/11	2,44	-11,31	3527,91	13,38	-11,51
Sn45/N89	MSU/12	21,84	-5,75	2051,48	7,03	38,11
Sn45/N89	MSU/6	9,04	-10,90	3550,69	12,83	7,45
Sn45/N89	MSU/94	23,12	-8,31	2803,36	10,02	39,33
Sn46/N91	MSU/54	-9,53	-2,90	991,97	4,53	-16,94
Sn46/N91	MSU/94	17,26	-1,59	1174,35	2,21	21,60
Sn46/N91	MSU/11	-4,44	-3,61	1423,85	5,27	-9,28
Sn46/N91	MSU/12	16,70	-0,88	930,49	1,28	21,00
Sn46/N91	MSU/26	-8,97	-3,60	1235,28	5,46	-16,33
Sn47/N93	MSU/52	-27,39	-0,90	2485,13	1,09	-40,27
Sn47/N93	MSU/53	11,23	-0,39	2043,23	1,54	16,90
Sn47/N93	MSU/78	-25,29	-0,99	2291,26	1,11	-36,93
Sn47/N93	MSU/77	6,61	0,60	2262,17	-1,24	-1,95
Sn47/N93	MSU/3	-25,18	-0,92	1848,35	1,04	-36,19
Sn47/N93	MSU/6	0,57	-0,53	3083,62	1,15	-6,19
Sn47/N93	MSU/69	8,23	0,56	1937,41	-1,24	0,94
Sn47/N93	MSU/84	9,05	-0,37	2667,52	1,59	12,90
Sn47/N93	MSU/93	11,23	-0,39	2062,23	1,55	16,91
Sn48/N95	MSU/54	-2,89	0,95	2035,86	-1,03	-13,01
Sn48/N95	MSU/94	8,87	0,72	2463,96	-0,59	22,74
Sn48/N95	MSU/53	7,48	-0,07	1976,61	0,43	20,30

Podpora	Stav	Rx [kN]	Ry [kN]	Rz [kN]	Mx [kNm]	My [kNm]
Sn48/N95	MSU/95	0,77	1,84	2704,73	-2,32	-3,55
Sn48/N95	MSU/3	-2,43	1,10	1765,53	-1,17	-12,33
Sn48/N95	MSU/6	4,41	1,40	3121,64	-1,79	7,73
Sn48/N95	MSU/96	3,81	1,81	2708,10	-2,69	5,75
Sn49/N97	MSU/97	-11,42	-0,72	849,39	1,32	-7,62
Sn49/N97	MSU/94	20,96	-0,69	982,38	1,32	24,29
Sn49/N97	MSU/11	-4,07	-1,11	1237,30	2,55	-4,67
Sn49/N97	MSU/35	19,79	-0,43	763,32	0,80	22,40
Sn49/N97	MSU/12	19,79	-0,43	763,31	0,80	22,40
Sn49/N97	MSU/16	-8,73	-1,04	1086,13	2,58	-10,93
Sn49/N97	MSU/54	-9,89	-0,78	867,06	2,06	-12,82
Sn50/N99	MSU/29	-12,41	-3,83	1593,37	1,99	-15,19
Sn50/N99	MSU/97	10,41	-1,80	1361,71	-0,69	5,73
Sn50/N99	MSU/81	-8,02	-4,03	1953,50	1,84	-11,10
Sn50/N99	MSU/69	10,08	-1,77	1262,98	-0,69	5,46
Sn50/N99	MSU/3	-11,53	-3,40	1212,44	1,80	-13,24
Sn50/N99	MSU/6	2,46	-3,83	1992,59	2,05	-1,33
Sn50/N99	MSU/84	4,21	-3,26	1721,25	2,53	3,16
Sn50/N99	MSU/52	-12,41	-3,83	1612,39	1,99	-15,21
Sn50/N99	MSU/66	10,41	-1,80	1342,92	-0,69	5,75
Sn51/N101	MSU/11	-318,80	255,22	1876,71	65,41	62,74
Sn51/N101	MSU/12	-115,34	117,06	864,00	35,71	42,92
Sn51/N101	MSU/20	-295,62	267,82	1867,81	62,46	67,32
Sn51/N101	MSU/3	-238,64	157,74	1190,48	43,04	35,45
Sn52/N103	MSU/87	-10,20	-3,22	465,64	1,77	-6,55
Sn52/N103	MSU/18	12,26	-3,34	569,53	1,41	11,83
Sn52/N103	MSU/11	-1,81	-4,50	699,44	3,25	-0,40
Sn52/N103	MSU/12	11,67	-2,85	426,53	1,10	10,87
Sn52/N103	MSU/6	-0,81	-4,29	701,02	2,57	1,21
Sn52/N103	MSU/16	-4,31	-4,00	612,05	3,36	-2,95
Sn52/N103	MSU/98	-10,19	-3,23	472,50	1,78	-6,55
Sn52/N103	MSU/94	12,26	-3,33	562,67	1,40	11,83
Sn53/N105	MSU/52	-10,31	-0,05	1252,53	1,07	-11,71
Sn53/N105	MSU/87	8,16	1,50	1025,83	-1,53	4,05
Sn53/N105	MSU/13	-9,94	-0,18	1169,15	1,05	-11,21
Sn53/N105	MSU/92	7,78	1,63	1109,27	-1,53	3,55
Sn53/N105	MSU/3	-9,51	-0,11	945,48	1,01	-10,04
Sn53/N105	MSU/6	1,45	0,59	1550,38	0,95	-1,69
Sn53/N105	MSU/97	8,14	1,51	1040,26	-1,55	4,01
Sn53/N105	MSU/94	3,03	0,44	1265,81	1,67	1,52
Sn54/N107	MSU/11	-284,70	-370,57	1854,33	-53,21	64,00
Sn54/N107	MSU/12	-147,98	-191,63	1030,23	-29,80	43,77
Sn54/N107	MSU/47	-172,67	-191,79	1026,32	-34,20	37,17
Sn54/N107	MSU/20	-262,18	-333,24	1737,72	-53,44	62,33
Sn54/N107	MSU/2	-247,69	-332,41	1739,22	-50,81	66,29
Sn55/N109	MSU/66	-15,56	8,98	391,16	-4,02	-12,46
Sn55/N109	MSU/18	14,25	10,64	479,96	-5,14	13,35
Sn55/N109	MSU/99	-5,72	8,66	461,88	-2,67	-4,57
Sn55/N109	MSU/100	8,91	12,41	495,62	-5,76	8,63
Sn55/N109	MSU/47	-15,42	9,07	362,83	-4,14	-12,24
Sn55/N109	MSU/6	-1,61	12,17	590,52	-5,21	-0,21
Sn55/N109	MSU/97	-15,56	8,98	396,53	-4,00	-12,46
Sn55/N109	MSU/94	14,25	10,65	474,59	-5,15	13,36
Sn56/N111	MSU/10	183,35	-2,83	830,73	2,63	-2,77
Sn56/N111	MSU/101	303,78	-2,17	1287,58	-0,50	-0,41
Sn56/N111	MSU/85	234,47	-3,15	1069,80	2,79	-4,35
Sn56/N111	MSU/86	214,57	-1,37	891,15	3,18	1,08
Sn56/N111	MSU/2	302,70	-2,15	1297,63	2,48	-1,12
Sn56/N111	MSU/97	223,48	-1,42	908,70	-1,80	1,81
Sn56/N111	MSU/94	256,59	-1,69	1087,80	3,34	-0,05
Sn56/N111	MSU/26	236,09	-3,15	1076,37	2,78	-4,38
Sn56/N111	MSU/47	214,74	-1,41	867,84	-1,78	2,30
Sn59/N117	MSU/11	-392,68	-3,83	1302,16	4,54	-5,41
Sn59/N117	MSU/47	-230,93	2,77	786,91	-2,50	-2,02
Sn59/N117	MSU/9	-326,07	-8,24	1101,06	7,40	-3,46
Sn61/N121	MSU/3	-4,71	-36,96	1066,05	49,45	-1,28

Podpora	Stav	Rx [kN]	Ry [kN]	Rz [kN]	Mx [kNm]	My [kNm]
Sn61/N121	MSU/102	30,66	29,42	1404,13	-39,93	1,33
Sn61/N121	MSU/26	3,32	-37,24	1414,13	49,78	-1,26
Sn61/N121	MSU/47	22,63	29,70	1056,05	-40,26	1,31
Sn61/N121	MSU/72	22,37	29,70	1056,04	-40,27	1,29
Sn61/N121	MSU/6	21,42	-8,66	1646,68	11,79	0,30
Sn61/N121	MSU/58	-3,38	-37,03	1138,54	49,53	-1,36
Sn61/N121	MSU/103	29,34	29,49	1331,64	-40,01	1,41
Sn62/N123	MSU/3	44,27	220,77	817,76	28,32	20,25
Sn62/N123	MSU/6	93,99	249,85	1137,37	48,72	30,20
Sn62/N123	MSU/12	63,56	133,88	829,25	31,37	23,35
Sn62/N123	MSU/11	81,54	299,42	1186,07	45,56	30,09
Sn62/N123	MSU/1	65,37	138,79	737,82	33,64	20,45
Sn62/N123	MSU/2	92,91	247,49	1193,96	47,42	31,98
Sn5/N128	MSU/16	-170,83	-263,48	1028,77	0,00	0,00
Sn5/N128	MSU/35	90,83	-148,32	521,30	0,00	0,00
Sn5/N128	MSU/6	-38,88	-309,10	1089,41	0,00	0,00
Sn5/N128	MSU/12	90,80	-147,56	518,02	0,00	0,00
Sn5/N128	MSU/11	-124,48	-301,21	1131,37	0,00	0,00
Sn5/N128	MSU/104	-41,21	-257,88	909,82	0,00	0,00
Sn63/N131	MSU/11	-308,86	-153,55	907,13	0,00	0,00
Sn63/N131	MSU/12	-149,14	-114,80	616,12	0,00	0,00
Sn63/N131	MSU/2	-291,91	-170,75	958,01	0,00	0,00
Sn63/N131	MSU/3	-176,48	-85,39	527,65	0,00	0,00
Sn63/N131	MSU/104	-228,83	-135,07	764,68	0,00	0,00
Sn64/N133	MSU/12	72,91	93,56	239,30	0,00	0,00
Sn64/N133	MSU/20	137,47	187,39	473,57	0,00	0,00
Sn64/N133	MSU/104	113,53	147,25	377,84	0,00	0,00
Sn65/N136	MSU/11	-164,12	99,73	315,89	0,00	0,00
Sn65/N136	MSU/12	-36,42	10,94	66,80	0,00	0,00
Sn65/N136	MSU/35	-36,45	10,92	66,63	0,00	0,00
Sn65/N136	MSU/16	-158,81	100,67	308,65	0,00	0,00
Sn65/N136	MSU/104	-119,46	69,51	238,76	0,00	0,00
Sn66/N140	MSU/3	122,13	130,15	338,51	0,00	0,00
Sn66/N140	MSU/2	365,60	288,13	805,48	0,00	0,00
Sn66/N140	MSU/104	279,96	236,25	667,86	0,00	0,00
Sn67/N138	MSU/3	150,92	-111,97	357,76	0,00	0,00
Sn67/N138	MSU/2	351,63	-295,36	761,89	0,00	0,00
Sn67/N138	MSU/104	266,96	-232,59	621,61	0,00	0,00

Reakce MSP char.

Lineární výpočet, Extrém : Uzel

Výběr : Vše

Kombinace : MSU

Podpora	Stav	Rx [kN]	Ry [kN]	Rz [kN]	Mx [kNm]	My [kNm]
Sn1/N1	MSU/1	141,08	152,82	381,79	23,52	-12,46
Sn1/N1	MSU/2	232,69	274,55	635,53	33,33	-19,46
Sn1/N1	MSU/3	149,52	152,60	343,85	21,59	-12,54
Sn1/N1	MSU/4	170,07	176,98	323,45	23,63	-12,62
Sn1/N1	MSU/5	212,34	250,29	654,63	31,31	-19,37
Sn1/N1	MSU/6	218,58	244,18	527,10	33,61	-17,80
Sn1/N1	MSU/7	226,20	267,46	645,17	32,60	-19,49
Sn1/N1	MSU/8	147,58	159,91	372,15	24,25	-12,43
Sn2/N7	MSU/3	-0,22	-157,02	1007,43	-2,49	-6,86
Sn2/N7	MSU/9	26,40	-233,97	1616,92	-8,95	18,79
Sn2/N7	MSU/6	23,88	-278,61	1826,88	-6,03	11,62
Sn2/N7	MSU/2	25,51	-270,84	1832,80	-8,56	15,78
Sn2/N7	MSU/10	-0,18	-157,55	1010,90	-2,48	-6,84
Sn3/N3	MSU/11	-347,22	-1,40	1243,40	2,34	-12,44
Sn3/N3	MSU/12	-171,74	-0,93	693,68	-2,21	-1,75
Sn3/N3	MSU/13	-280,84	-2,36	978,11	-1,22	-11,53
Sn3/N3	MSU/14	-250,31	2,50	892,10	8,17	-9,00
Sn3/N3	MSU/3	-240,72	-1,92	821,77	-2,61	-10,39
Sn3/N3	MSU/15	-290,44	2,07	1048,44	9,57	-10,15

Podpora	Stav	Rx [kN]	Ry [kN]	Rz [kN]	Mx [kNm]	My [kNm]
Sn3/N3	MSU/16	-316,39	-2,31	1107,82	-0,68	-12,65
Sn4/N5	MSU/17	-9,63	-1,15	1068,98	4,20	-7,17
Sn4/N5	MSU/18	16,49	-0,99	1339,75	3,80	21,56
Sn4/N5	MSU/19	-3,35	-1,45	1665,23	5,36	-1,09
Sn4/N5	MSU/10	-5,80	-0,20	984,40	0,91	-9,84
Sn4/N5	MSU/12	15,40	-0,72	951,78	2,77	20,05
Sn4/N5	MSU/20	-0,62	-1,14	1684,88	4,25	0,67
Sn4/N5	MSU/3	-5,81	-0,20	971,93	0,91	-9,85
Sn4/N5	MSU/6	-3,35	-1,45	1666,37	5,37	-1,08
Sn4/N5	MSU/21	-5,97	-0,34	1082,24	1,38	-10,08
Sn6/N11	MSU/22	-30,87	52,65	906,73	-78,75	-4,69
Sn6/N11	MSU/23	27,90	57,51	841,60	-85,43	0,47
Sn6/N11	MSU/24	-2,63	-45,88	961,72	74,03	-2,87
Sn6/N11	MSU/25	26,24	57,51	854,68	-85,77	0,68
Sn6/N11	MSU/12	27,13	57,51	732,75	-86,16	1,04
Sn6/N11	MSU/11	-18,13	31,59	1162,09	-45,03	-4,56
Sn6/N11	MSU/15	-2,90	-45,88	969,70	74,08	-2,93
Sn6/N11	MSU/26	-30,10	52,65	1015,58	-78,01	-5,26
Sn7/N13	MSU/21	-9,14	0,85	1221,70	1,10	-17,86
Sn7/N13	MSU/18	23,73	0,47	1500,66	3,21	35,99
Sn7/N13	MSU/27	-2,12	-0,05	1632,99	4,34	2,73
Sn7/N13	MSU/28	-8,34	1,09	1284,63	0,94	-16,73
Sn7/N13	MSU/12	21,97	0,54	1078,70	2,29	33,21
Sn7/N13	MSU/20	0,87	0,56	1885,10	3,62	4,19
Sn7/N13	MSU/3	-8,92	1,01	1104,65	0,60	-17,61
Sn7/N13	MSU/6	-1,14	0,26	1882,36	4,68	4,14
Sn8/N15	MSU/29	-8,96	0,26	1555,46	0,48	-24,42
Sn8/N15	MSU/30	6,24	-0,64	1284,14	2,37	17,45
Sn8/N15	MSU/31	3,61	-0,68	1520,32	2,57	9,53
Sn8/N15	MSU/32	-8,80	0,30	1392,20	0,26	-24,03
Sn8/N15	MSU/3	-7,80	0,14	1070,72	0,33	-22,10
Sn8/N15	MSU/20	-2,61	-0,22	2006,59	1,92	-6,95
Sn8/N15	MSU/33	3,18	-0,65	1674,33	2,69	8,74
Sn9/N17	MSU/32	-15,48	2,38	1072,30	0,06	-19,09
Sn9/N17	MSU/34	12,21	2,19	1184,61	0,52	7,78
Sn9/N17	MSU/12	10,29	1,81	962,39	-0,25	14,22
Sn9/N17	MSU/11	-8,97	3,04	1480,63	0,26	-11,60
Sn9/N17	MSU/20	2,55	2,92	1488,34	0,23	0,04
Sn9/N17	MSU/35	10,30	1,82	968,30	-0,26	14,23
Sn9/N17	MSU/15	12,13	2,30	1291,77	0,68	7,37
Sn9/N17	MSU/29	-15,47	2,67	1216,35	0,07	-19,15
Sn9/N17	MSU/30	10,56	1,90	1032,19	-0,13	14,54
Sn10/N19	MSU/21	-11,18	-0,53	1408,20	1,85	-22,83
Sn10/N19	MSU/18	31,92	-0,82	1739,27	3,35	52,20
Sn10/N19	MSU/36	3,58	-1,35	2148,52	5,01	12,26
Sn10/N19	MSU/37	-10,78	-0,34	1309,31	1,33	-22,46
Sn10/N19	MSU/12	28,97	-0,64	1236,40	2,48	47,23
Sn10/N19	MSU/20	3,35	-1,08	2187,56	4,06	9,88
Sn10/N19	MSU/3	-10,89	-0,34	1265,18	1,30	-22,62
Sn10/N19	MSU/6	3,70	-1,35	2187,48	5,04	12,44
Sn11/N21	MSU/3	-9,47	23,32	1600,18	1,16	-23,70
Sn11/N21	MSU/9	29,05	45,92	2384,96	5,48	59,19
Sn11/N21	MSU/2	23,87	48,80	2728,50	5,67	46,83
Sn11/N21	MSU/12	24,64	33,14	1547,26	3,87	54,59
Sn11/N21	MSU/20	11,82	47,96	2769,05	4,66	19,41
Sn12/N23	MSU/29	-28,46	30,65	1365,35	1,25	-27,11
Sn12/N23	MSU/30	14,57	6,17	1214,51	1,34	32,19
Sn12/N23	MSU/38	13,96	3,78	1311,94	1,69	32,45
Sn12/N23	MSU/39	-27,85	33,04	1267,92	0,90	-27,37
Sn12/N23	MSU/3	-27,32	30,65	1100,38	0,73	-27,98
Sn12/N23	MSU/2	5,79	12,69	1697,89	2,06	23,03
Sn12/N23	MSU/6	1,42	13,86	1683,32	2,21	11,23
Sn12/N23	MSU/9	13,44	6,17	1479,48	1,85	33,06
Sn13/N25	MSU/21	-10,35	-0,66	1402,71	2,34	-23,34
Sn13/N25	MSU/18	32,04	-0,73	1731,32	3,15	54,69
Sn13/N25	MSU/36	4,45	-1,33	2139,45	5,06	13,18

Podpora	Stav	Rx [kN]	Ry [kN]	Rz [kN]	Mx [kNm]	My [kNm]
Sn13/N25	MSU/37	-10,07	-0,46	1304,24	1,79	-23,03
Sn13/N25	MSU/12	29,69	-0,54	1230,28	2,27	50,82
Sn13/N25	MSU/20	3,48	-1,08	2178,52	4,19	10,04
Sn13/N25	MSU/3	-10,12	-0,46	1260,30	1,76	-23,08
Sn13/N25	MSU/6	4,51	-1,33	2178,41	5,09	13,24
Sn14/N27	MSU/29	-26,61	-11,62	2419,20	11,92	-34,49
Sn14/N27	MSU/30	8,74	-12,37	2034,23	12,04	35,84
Sn14/N27	MSU/2	0,62	-17,35	3054,65	17,29	22,58
Sn14/N27	MSU/3	-25,44	-7,93	1773,68	8,18	-33,62
Sn14/N27	MSU/6	-3,72	-16,34	3075,44	16,71	6,52
Sn14/N27	MSU/32	-25,74	-10,16	2150,19	10,44	-34,94
Sn14/N27	MSU/40	7,86	-13,84	2303,24	13,51	36,29
Sn15/N29	MSU/41	-10,22	-5,86	1316,05	4,48	-17,49
Sn15/N29	MSU/42	10,65	-13,93	1454,46	9,47	20,64
Sn15/N29	MSU/43	6,70	-15,34	1793,69	10,78	13,31
Sn15/N29	MSU/3	-9,46	-4,80	1224,29	3,61	-16,52
Sn15/N29	MSU/12	10,11	-12,09	1221,95	8,07	20,01
Sn15/N29	MSU/44	-5,04	-10,97	1795,09	8,10	-8,60
Sn15/N29	MSU/32	-10,22	-5,85	1316,06	4,47	-17,49
Sn16/N31	MSU/21	-10,66	-0,80	1411,49	2,86	-23,84
Sn16/N31	MSU/18	29,56	-0,63	1741,97	2,96	48,91
Sn16/N31	MSU/45	2,03	-1,33	2078,71	5,09	8,32
Sn16/N31	MSU/46	28,13	-0,45	1264,92	2,08	46,79
Sn16/N31	MSU/12	28,12	-0,45	1237,60	2,05	46,78
Sn16/N31	MSU/20	1,96	-1,10	2192,20	4,35	6,86
Sn16/N31	MSU/47	-4,73	-0,50	1270,63	2,04	-1,41
Sn16/N31	MSU/6	2,97	-1,32	2192,08	5,18	9,99
Sn16/N31	MSU/48	-10,66	-0,80	1428,42	2,86	-23,85
Sn16/N31	MSU/49	29,56	-0,63	1741,33	2,95	48,92
Sn17/N33	MSU/29	-19,88	-5,79	2432,30	9,16	-38,27
Sn17/N33	MSU/30	6,23	-5,54	2045,06	8,35	26,86
Sn17/N33	MSU/2	-0,26	-8,01	3070,90	12,32	12,69
Sn17/N33	MSU/3	-18,95	-3,97	1783,33	6,39	-36,84
Sn17/N33	MSU/6	-4,92	-7,51	3091,78	11,93	-2,56
Sn17/N33	MSU/50	-19,88	-5,80	2440,54	9,18	-38,28
Sn17/N33	MSU/51	6,23	-5,52	2030,00	8,32	26,86
Sn18/N35	MSU/52	-15,90	1,42	1514,72	0,56	-21,47
Sn18/N35	MSU/53	10,43	3,20	1275,51	-0,12	18,01
Sn18/N35	MSU/54	-15,33	1,07	1285,93	0,43	-20,59
Sn18/N35	MSU/55	9,85	3,55	1504,30	0,02	17,14
Sn18/N35	MSU/12	10,24	3,22	1229,55	-0,28	17,85
Sn18/N35	MSU/11	-9,87	2,13	1809,14	0,78	-13,09
Sn18/N35	MSU/56	2,57	2,13	1618,87	1,14	1,31
Sn19/N37	MSU/54	-9,80	-0,78	1481,10	3,33	-17,79
Sn19/N37	MSU/55	25,83	-0,40	1745,23	2,79	37,32
Sn19/N37	MSU/45	1,13	-1,19	2114,71	5,22	7,07
Sn19/N37	MSU/46	24,08	-0,24	1288,56	1,93	34,62
Sn19/N37	MSU/12	24,09	-0,24	1260,80	1,90	34,67
Sn19/N37	MSU/20	0,93	-0,93	2230,22	4,50	5,73
Sn19/N37	MSU/6	1,67	-1,14	2230,21	5,28	7,92
Sn20/N39	MSU/37	-3,23	-1,09	1674,36	3,05	-16,24
Sn20/N39	MSU/57	9,23	1,39	2447,23	-0,16	19,52
Sn20/N39	MSU/58	-3,19	-1,18	1859,81	3,31	-16,29
Sn20/N39	MSU/55	9,19	1,48	2253,33	-0,43	19,59
Sn20/N39	MSU/12	7,23	1,20	1621,63	-0,54	18,25
Sn20/N39	MSU/6	4,65	0,41	2869,70	1,88	4,08
Sn20/N39	MSU/59	8,89	1,46	2008,01	-0,62	19,38
Sn20/N39	MSU/60	-2,89	-1,16	2113,59	3,51	-16,09
Sn20/N39	MSU/54	-3,19	-1,18	1868,27	3,32	-16,31
Sn21/N41	MSU/52	-28,84	10,05	1437,11	-1,38	-31,42
Sn21/N41	MSU/17	10,43	8,80	1235,48	0,02	10,69
Sn21/N41	MSU/61	-19,53	8,52	1382,17	-0,51	-20,42
Sn21/N41	MSU/62	3,19	12,60	1613,55	-0,99	8,40
Sn21/N41	MSU/3	-26,52	8,86	1159,19	-1,62	-29,20
Sn21/N41	MSU/2	1,65	12,32	1764,00	-0,41	6,95
Sn21/N41	MSU/39	-27,05	10,20	1334,94	-1,75	-29,51

Podpora	Stav	Rx [kN]	Ry [kN]	Rz [kN]	Mx [kNm]	My [kNm]
Sn21/N41	MSU/63	8,62	8,66	1344,26	0,39	8,76
Sn21/N41	MSU/53	10,00	9,59	1246,58	-0,34	17,08
Sn22/N43	MSU/11	-497,62	-2,33	2111,54	6,66	-14,78
Sn22/N43	MSU/12	-173,64	-0,93	945,07	2,70	9,12
Sn22/N43	MSU/36	-448,75	-2,45	1957,22	7,12	-8,30
Sn22/N43	MSU/46	-181,01	-0,92	969,93	2,74	8,71
Sn22/N43	MSU/6	-458,98	-2,44	1992,12	7,16	-8,86
Sn22/N43	MSU/16	-471,92	-2,09	1947,76	5,95	-18,22
Sn23/N45	MSU/3	278,21	5,38	795,73	-1,18	4,00
Sn23/N45	MSU/2	643,55	4,64	1719,19	-0,11	36,26
Sn23/N45	MSU/64	429,87	0,68	1132,03	1,67	23,06
Sn23/N45	MSU/60	396,66	6,19	1083,15	-1,30	10,81
Sn23/N45	MSU/65	471,51	5,40	1268,32	-2,20	22,09
Sn23/N45	MSU/9	598,42	4,16	1597,26	0,19	37,35
Sn24/N47	MSU/11	-569,62	0,31	2387,94	0,77	-3,21
Sn24/N47	MSU/12	-249,11	0,50	1124,59	0,77	6,22
Sn24/N47	MSU/32	-439,18	-0,29	1754,48	0,94	-7,07
Sn24/N47	MSU/65	-430,63	1,10	1827,27	-0,66	-0,34
Sn24/N47	MSU/66	-378,17	1,04	1601,01	-0,73	-0,49
Sn24/N47	MSU/67	-402,72	-0,13	1763,32	1,70	2,18
Sn24/N47	MSU/39	-445,29	-0,05	1729,43	0,68	-8,02
Sn24/N47	MSU/38	-337,22	0,60	1587,92	0,83	8,27
Sn25/N49	MSU/3	181,93	-0,47	509,35	2,28	-0,37
Sn25/N49	MSU/43	466,33	0,13	1321,72	2,43	13,82
Sn25/N49	MSU/29	257,54	-0,62	712,12	3,06	1,42
Sn25/N49	MSU/30	368,31	0,44	1051,73	0,99	13,73
Sn25/N49	MSU/12	326,59	0,29	900,30	0,86	13,78
Sn25/N49	MSU/19	423,17	-0,21	1215,47	3,40	9,32
Sn25/N49	MSU/68	185,75	-0,46	523,27	2,29	-0,44
Sn25/N49	MSU/57	440,41	0,27	1241,21	1,74	15,64
Sn26/N51	MSU/60	-21,38	0,64	1279,67	0,13	-26,21
Sn26/N51	MSU/64	14,23	-0,77	1076,74	1,76	9,17
Sn26/N51	MSU/65	4,07	0,89	1304,61	-1,02	-2,87
Sn26/N51	MSU/10	-19,25	0,56	1001,13	0,06	-22,51
Sn26/N51	MSU/2	1,81	-0,23	1568,21	1,01	-0,46
Sn26/N51	MSU/69	6,19	0,81	1037,14	-1,10	0,81
Sn26/N51	MSU/70	12,11	-0,69	1344,20	1,83	5,49
Sn26/N51	MSU/59	8,54	-0,57	1077,21	1,20	9,41
Sn27/N53	MSU/60	-2,28	-0,31	1405,30	1,16	-6,03
Sn27/N53	MSU/71	1,37	-0,31	1107,59	1,21	3,57
Sn27/N53	MSU/70	-0,26	-0,53	1561,26	1,88	-0,60
Sn27/N53	MSU/69	-0,58	0,04	991,74	0,03	-1,54
Sn27/N53	MSU/3	-1,75	-0,28	911,74	0,97	-5,00
Sn27/N53	MSU/56	-0,51	-0,45	1815,31	1,70	-1,29
Sn27/N53	MSU/72	-0,58	0,04	961,20	0,03	-1,53
Sn27/N53	MSU/73	-0,27	-0,52	1591,81	1,89	-0,61
Sn28/N55	MSU/41	-0,99	-0,71	1107,32	2,32	-2,99
Sn28/N55	MSU/40	2,67	-0,46	1404,99	1,75	6,71
Sn28/N55	MSU/36	1,37	-0,95	1756,96	3,28	3,10
Sn28/N55	MSU/46	2,09	-0,25	942,05	1,12	5,61
Sn28/N55	MSU/12	2,08	-0,25	911,51	1,11	5,61
Sn28/N55	MSU/74	1,01	-0,74	1814,86	2,58	2,04
Sn28/N55	MSU/19	1,38	-0,94	1787,49	3,29	3,10
Sn29/N57	MSU/75	-9,61	-0,58	668,48	2,49	-4,24
Sn29/N57	MSU/40	22,79	-0,83	811,11	3,07	29,43
Sn29/N57	MSU/36	1,65	-1,37	1000,86	5,12	9,33
Sn29/N57	MSU/46	20,48	-0,44	604,04	1,92	25,23
Sn29/N57	MSU/35	20,47	-0,44	592,97	1,91	25,23
Sn29/N57	MSU/11	0,85	-1,32	1017,26	4,85	4,47
Sn29/N57	MSU/12	20,46	-0,44	592,97	1,90	25,22
Sn29/N57	MSU/6	1,68	-1,36	1016,66	5,15	9,35
Sn29/N57	MSU/32	-6,25	-0,84	669,11	3,22	-6,49
Sn30/N59	MSU/60	-20,27	0,15	1281,28	0,44	-22,65
Sn30/N59	MSU/64	12,08	-0,69	1077,80	1,67	9,57
Sn30/N59	MSU/76	9,71	-0,74	1287,49	1,75	5,94
Sn30/N59	MSU/77	7,19	0,70	1096,45	-1,01	3,80

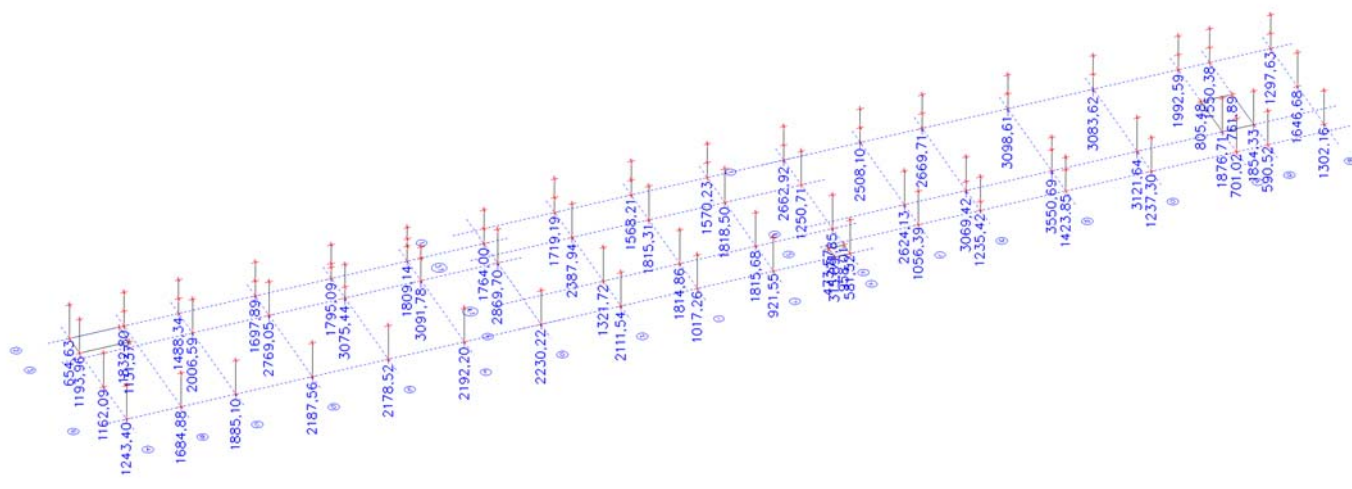
Podpora	Stav	Rx [kN]	Ry [kN]	Rz [kN]	Mx [kNm]	My [kNm]
Sn30/N59	MSU/3	-18,51	0,18	1002,13	0,33	-19,95
Sn30/N59	MSU/2	2,66	-0,33	1570,23	1,07	3,25
Sn30/N59	MSU/69	6,58	0,68	1038,11	-1,05	2,90
Sn30/N59	MSU/70	10,33	-0,72	1345,83	1,79	6,84
Sn30/N59	MSU/78	-20,26	0,15	1270,16	0,44	-22,68
Sn30/N59	MSU/79	8,81	-0,49	1097,38	1,22	11,52
Sn31/N61	MSU/80	-1,97	-0,59	1377,11	1,73	-4,53
Sn31/N61	MSU/79	1,46	-0,31	1139,94	1,24	4,55
Sn31/N61	MSU/70	-0,05	-0,67	1563,86	2,19	0,83
Sn31/N61	MSU/69	-0,44	-0,06	993,22	0,24	-0,55
Sn31/N61	MSU/3	-1,55	-0,45	913,15	1,36	-3,91
Sn31/N61	MSU/56	-0,25	-0,64	1818,50	2,09	0,37
Sn31/N61	MSU/72	-0,44	-0,06	962,61	0,23	-0,57
Sn31/N61	MSU/73	-0,05	-0,67	1594,46	2,20	0,84
Sn31/N61	MSU/21	-1,95	-0,54	1234,53	1,59	-4,56
Sn31/N61	MSU/18	1,44	-0,36	1280,80	1,39	4,59
Sn32/N63	MSU/32	-0,95	-0,74	1092,48	2,41	-2,07
Sn32/N63	MSU/40	2,57	-0,81	1405,45	2,50	7,32
Sn32/N63	MSU/36	1,31	-1,21	1757,85	3,85	4,09
Sn32/N63	MSU/69	0,34	-0,43	992,27	1,38	1,20
Sn32/N63	MSU/12	2,04	-0,45	911,86	1,59	6,11
Sn32/N63	MSU/74	0,94	-1,00	1815,68	3,12	3,02
Sn32/N63	MSU/47	0,33	-0,44	939,92	1,37	1,17
Sn32/N63	MSU/19	1,31	-1,21	1788,40	3,86	4,11
Sn33/N65	MSU/75	-9,61	-1,44	606,15	2,80	-1,87
Sn33/N65	MSU/40	21,68	-1,74	735,12	3,23	30,41
Sn33/N65	MSU/81	1,87	-2,50	907,33	5,30	8,38
Sn33/N65	MSU/46	19,39	-1,22	548,19	2,05	25,84
Sn33/N65	MSU/35	19,37	-1,23	538,23	2,04	25,80
Sn33/N65	MSU/11	1,89	-2,50	921,55	5,33	8,45
Sn33/N65	MSU/12	19,37	-1,23	538,24	2,03	25,79
Sn33/N65	MSU/6	2,78	-2,48	920,96	5,48	13,16
Sn33/N65	MSU/32	-4,96	-1,75	606,75	3,68	-3,04
Sn34/N67	MSU/3	223,36	0,29	1381,08	0,54	-8,56
Sn34/N67	MSU/2	546,71	-0,42	2662,92	1,41	13,66
Sn34/N67	MSU/53	408,15	-0,80	1922,78	1,65	14,40
Sn34/N67	MSU/82	405,47	0,75	2060,77	-0,99	6,23
Sn34/N67	MSU/69	316,35	0,64	1620,10	-1,08	4,68
Sn34/N67	MSU/70	461,34	-0,68	2248,58	2,06	10,42
Sn34/N67	MSU/9	507,73	-0,68	2401,30	1,74	16,51
Sn35/N69	MSU/44	-488,02	-1,64	1250,71	3,47	-14,24
Sn35/N69	MSU/12	-222,14	-0,62	534,32	1,76	-1,95
Sn35/N69	MSU/83	-411,09	-1,66	1080,21	3,23	-11,90
Sn35/N69	MSU/75	-313,46	-0,51	783,46	0,89	-7,86
Sn35/N69	MSU/72	-281,65	-0,53	709,91	0,74	-7,12
Sn35/N69	MSU/73	-375,36	-1,55	972,15	3,65	-7,05
Sn35/N69	MSU/29	-421,17	-1,20	1046,44	2,73	-15,89
Sn35/N69	MSU/51	-257,83	-1,02	664,67	2,38	-1,48
Sn36/N71	MSU/3	141,94	-2,33	757,84	3,32	-1,94
Sn36/N71	MSU/2	386,30	-3,55	1771,85	5,43	7,50
Sn36/N71	MSU/6	354,87	-4,13	1687,49	6,11	4,82
Sn36/N71	MSU/12	276,59	-1,55	1160,60	2,84	8,63
Sn36/N71	MSU/47	196,91	-1,96	939,30	2,31	2,39
Sn36/N71	MSU/54	171,20	-3,20	930,37	4,44	-2,35
Sn36/N71	MSU/55	341,86	-2,00	1480,12	3,58	9,40
Sn37/N73	MSU/11	-177,39	-88,42	571,77	-18,14	16,52
Sn37/N73	MSU/12	-58,21	-20,65	175,42	-5,01	16,76
Sn37/N73	MSU/16	-174,11	-91,40	581,52	-16,97	12,28
Sn37/N73	MSU/35	-58,44	-20,51	175,00	-5,02	16,76
Sn37/N73	MSU/3	-127,65	-76,30	474,72	-12,88	8,23
Sn37/N73	MSU/43	-135,05	-54,73	390,26	-13,38	21,61
Sn38/N75	MSU/29	-21,64	-0,91	1996,75	0,82	-30,29
Sn38/N75	MSU/30	10,94	-1,86	1703,90	1,84	19,91
Sn38/N75	MSU/84	9,60	-2,04	2169,84	1,99	18,06
Sn38/N75	MSU/69	4,72	-0,33	1577,61	-0,80	0,52
Sn38/N75	MSU/3	-20,32	-0,73	1505,82	0,67	-28,48

Podpora	Stav	Rx [kN]	Ry [kN]	Rz [kN]	Mx [kNm]	My [kNm]
Sn38/N75	MSU/6	1,18	-1,88	2508,10	1,69	-0,81
Sn38/N75	MSU/70	4,98	-1,95	2156,89	2,08	2,66
Sn39/N77	MSU/85	-17,82	85,56	2240,44	2,68	-37,58
Sn39/N77	MSU/86	-4,01	52,40	1524,75	-0,48	3,32
Sn39/N77	MSU/12	-4,03	51,05	1478,42	-0,45	3,35
Sn39/N77	MSU/20	-15,10	108,16	2624,13	0,10	-24,99
Sn39/N77	MSU/30	-4,19	58,02	1701,20	-0,73	2,89
Sn39/N77	MSU/29	-17,64	79,94	2063,99	2,94	-37,14
Sn39/N77	MSU/16	-17,80	87,12	2289,06	2,65	-37,63
Sn39/N77	MSU/35	-4,02	51,23	1485,88	-0,45	3,36
Sn40/N79	MSU/87	-6,01	12,22	724,48	5,98	-11,43
Sn40/N79	MSU/18	29,78	18,88	873,06	8,19	28,08
Sn40/N79	MSU/3	-5,65	-24,66	670,65	7,59	-17,74
Sn40/N79	MSU/88	29,53	20,98	914,24	8,08	27,73
Sn40/N79	MSU/20	3,05	12,88	1056,39	8,34	-5,13
Sn40/N79	MSU/89	-3,99	13,80	818,52	5,65	-9,77
Sn40/N79	MSU/90	1,34	-11,57	915,53	9,67	-10,43
Sn40/N79	MSU/21	-5,89	-22,58	711,81	7,48	-18,07
Sn41/N81	MSU/52	-27,34	1,20	2151,13	0,31	-43,50
Sn41/N81	MSU/53	12,20	0,27	1770,11	1,29	24,06
Sn41/N81	MSU/91	11,31	0,26	2066,60	1,34	22,64
Sn41/N81	MSU/92	4,14	1,80	1921,61	-1,36	-1,90
Sn41/N81	MSU/3	-25,86	1,05	1600,64	0,26	-41,06
Sn41/N81	MSU/6	0,28	0,88	2669,71	0,90	-3,72
Sn41/N81	MSU/69	4,72	1,65	1678,57	-1,36	-0,92
Sn41/N81	MSU/70	5,24	0,41	2295,94	1,39	1,91
Sn41/N81	MSU/93	12,20	0,27	1786,52	1,30	24,07
Sn42/N83	MSU/54	-7,08	-13,17	2034,18	9,49	-31,87
Sn42/N83	MSU/55	27,27	-12,86	2417,07	9,03	28,22
Sn42/N83	MSU/11	0,97	-18,60	3049,63	12,89	-21,25
Sn42/N83	MSU/12	25,95	-8,94	1776,40	6,33	27,77
Sn42/N83	MSU/6	6,93	-17,56	3069,42	12,02	-4,33
Sn42/N83	MSU/60	-6,11	-14,77	2303,47	10,56	-32,49
Sn42/N83	MSU/71	26,29	-11,28	2155,57	7,97	28,84
Sn43/N85	MSU/80	-8,38	-8,18	973,88	7,04	-17,61
Sn43/N85	MSU/79	6,44	-1,30	906,92	1,46	14,71
Sn43/N85	MSU/26	-7,78	-9,19	1071,07	7,67	-16,82
Sn43/N85	MSU/12	5,84	-0,29	809,70	0,83	13,92
Sn43/N85	MSU/3	-7,91	-7,49	808,64	6,51	-17,09
Sn43/N85	MSU/43	2,64	-4,03	1235,42	3,48	7,02
Sn43/N85	MSU/60	-8,38	-8,22	979,97	7,06	-17,61
Sn43/N85	MSU/71	6,44	-1,26	900,83	1,43	14,71
Sn44/N87	MSU/52	-29,88	-0,53	2496,00	0,87	-47,49
Sn44/N87	MSU/53	13,91	-0,59	2053,29	1,54	25,60
Sn44/N87	MSU/76	7,41	-0,81	2338,19	1,61	3,61
Sn44/N87	MSU/77	5,38	0,54	2273,19	-1,13	-1,89
Sn44/N87	MSU/3	-28,74	-0,54	1855,53	0,81	-45,21
Sn44/N87	MSU/6	1,31	-0,59	3098,61	1,21	-3,93
Sn44/N87	MSU/69	5,90	0,52	1946,43	-1,15	-0,79
Sn44/N87	MSU/70	6,89	-0,79	2664,95	1,63	2,51
Sn44/N87	MSU/93	13,90	-0,59	2072,43	1,54	25,60
Sn45/N89	MSU/54	-4,98	-7,57	2352,30	9,20	-25,53
Sn45/N89	MSU/55	23,12	-8,30	2794,29	10,00	39,33
Sn45/N89	MSU/11	2,44	-11,31	3527,91	13,38	-11,51
Sn45/N89	MSU/12	21,84	-5,75	2051,48	7,03	38,11
Sn45/N89	MSU/6	9,04	-10,90	3550,69	12,83	7,45
Sn45/N89	MSU/94	23,12	-8,31	2803,36	10,02	39,33
Sn46/N91	MSU/54	-9,53	-2,90	991,97	4,53	-16,94
Sn46/N91	MSU/94	17,26	-1,59	1174,35	2,21	21,60
Sn46/N91	MSU/11	-4,44	-3,61	1423,85	5,27	-9,28
Sn46/N91	MSU/12	16,70	-0,88	930,49	1,28	21,00
Sn46/N91	MSU/26	-8,97	-3,60	1235,28	5,46	-16,33
Sn47/N93	MSU/52	-27,39	-0,90	2485,13	1,09	-40,27
Sn47/N93	MSU/53	11,23	-0,39	2043,23	1,54	16,90
Sn47/N93	MSU/78	-25,29	-0,99	2291,26	1,11	-36,93
Sn47/N93	MSU/77	6,61	0,60	2262,17	-1,24	-1,95

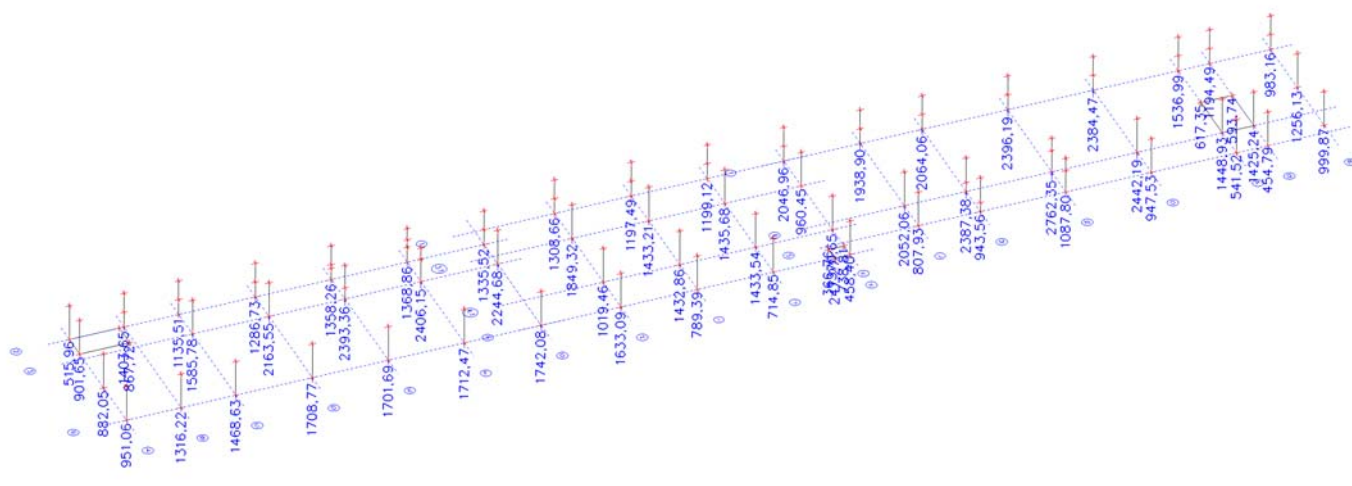
Podpora	Stav	Rx [kN]	Ry [kN]	Rz [kN]	Mx [kNm]	My [kNm]
Sn47/N93	MSU/3	-25,18	-0,92	1848,35	1,04	-36,19
Sn47/N93	MSU/6	0,57	-0,53	3083,62	1,15	-6,19
Sn47/N93	MSU/69	8,23	0,56	1937,41	-1,24	0,94
Sn47/N93	MSU/84	9,05	-0,37	2667,52	1,59	12,90
Sn47/N93	MSU/93	11,23	-0,39	2062,23	1,55	16,91
Sn48/N95	MSU/54	-2,89	0,95	2035,86	-1,03	-13,01
Sn48/N95	MSU/94	8,87	0,72	2463,96	-0,59	22,74
Sn48/N95	MSU/53	7,48	-0,07	1976,61	0,43	20,30
Sn48/N95	MSU/95	0,77	1,84	2704,73	-2,32	-3,55
Sn48/N95	MSU/3	-2,43	1,10	1765,53	-1,17	-12,33
Sn48/N95	MSU/6	4,41	1,40	3121,64	-1,79	7,73
Sn48/N95	MSU/96	3,81	1,81	2708,10	-2,69	5,75
Sn49/N97	MSU/97	-11,42	-0,72	849,39	1,32	-7,62
Sn49/N97	MSU/94	20,96	-0,69	982,38	1,32	24,29
Sn49/N97	MSU/11	-4,07	-1,11	1237,30	2,55	-4,67
Sn49/N97	MSU/35	19,79	-0,43	763,32	0,80	22,40
Sn49/N97	MSU/12	19,79	-0,43	763,31	0,80	22,40
Sn49/N97	MSU/16	-8,73	-1,04	1086,13	2,58	-10,93
Sn49/N97	MSU/54	-9,89	-0,78	867,06	2,06	-12,82
Sn50/N99	MSU/29	-12,41	-3,83	1593,37	1,99	-15,19
Sn50/N99	MSU/97	10,41	-1,80	1361,71	-0,69	5,73
Sn50/N99	MSU/81	-8,02	-4,03	1953,50	1,84	-11,10
Sn50/N99	MSU/69	10,08	-1,77	1262,98	-0,69	5,46
Sn50/N99	MSU/3	-11,53	-3,40	1212,44	1,80	-13,24
Sn50/N99	MSU/6	2,46	-3,83	1992,59	2,05	-1,33
Sn50/N99	MSU/84	4,21	-3,26	1721,25	2,53	3,16
Sn50/N99	MSU/52	-12,41	-3,83	1612,39	1,99	-15,21
Sn50/N99	MSU/66	10,41	-1,80	1342,92	-0,69	5,75
Sn51/N101	MSU/11	-318,80	255,22	1876,71	65,41	62,74
Sn51/N101	MSU/12	-115,34	117,06	864,00	35,71	42,92
Sn51/N101	MSU/20	-295,62	267,82	1867,81	62,46	67,32
Sn51/N101	MSU/3	-238,64	157,74	1190,48	43,04	35,45
Sn52/N103	MSU/87	-10,20	-3,22	465,64	1,77	-6,55
Sn52/N103	MSU/18	12,26	-3,34	569,53	1,41	11,83
Sn52/N103	MSU/11	-1,81	-4,50	699,44	3,25	-0,40
Sn52/N103	MSU/12	11,67	-2,85	426,53	1,10	10,87
Sn52/N103	MSU/6	-0,81	-4,29	701,02	2,57	1,21
Sn52/N103	MSU/16	-4,31	-4,00	612,05	3,36	-2,95
Sn52/N103	MSU/98	-10,19	-3,23	472,50	1,78	-6,55
Sn52/N103	MSU/94	12,26	-3,33	562,67	1,40	11,83
Sn53/N105	MSU/52	-10,31	-0,05	1252,53	1,07	-11,71
Sn53/N105	MSU/87	8,16	1,50	1025,83	-1,53	4,05
Sn53/N105	MSU/13	-9,94	-0,18	1169,15	1,05	-11,21
Sn53/N105	MSU/92	7,78	1,63	1109,27	-1,53	3,55
Sn53/N105	MSU/3	-9,51	-0,11	945,48	1,01	-10,04
Sn53/N105	MSU/6	1,45	0,59	1550,38	0,95	-1,69
Sn53/N105	MSU/97	8,14	1,51	1040,26	-1,55	4,01
Sn53/N105	MSU/94	3,03	0,44	1265,81	1,67	1,52
Sn54/N107	MSU/11	-284,70	-370,57	1854,33	-53,21	64,00
Sn54/N107	MSU/12	-147,98	-191,63	1030,23	-29,80	43,77
Sn54/N107	MSU/47	-172,67	-191,79	1026,32	-34,20	37,17
Sn54/N107	MSU/20	-262,18	-333,24	1737,72	-53,44	62,33
Sn54/N107	MSU/2	-247,69	-332,41	1739,22	-50,81	66,29
Sn55/N109	MSU/66	-15,56	8,98	391,16	-4,02	-12,46
Sn55/N109	MSU/18	14,25	10,64	479,96	-5,14	13,35
Sn55/N109	MSU/99	-5,72	8,66	461,88	-2,67	-4,57
Sn55/N109	MSU/100	8,91	12,41	495,62	-5,76	8,63
Sn55/N109	MSU/47	-15,42	9,07	362,83	-4,14	-12,24
Sn55/N109	MSU/6	-1,61	12,17	590,52	-5,21	-0,21
Sn55/N109	MSU/97	-15,56	8,98	396,53	-4,00	-12,46
Sn55/N109	MSU/94	14,25	10,65	474,59	-5,15	13,36
Sn56/N111	MSU/10	183,35	-2,83	830,73	2,63	-2,77
Sn56/N111	MSU/101	303,78	-2,17	1287,58	-0,50	-0,41
Sn56/N111	MSU/85	234,47	-3,15	1069,80	2,79	-4,35
Sn56/N111	MSU/86	214,57	-1,37	891,15	3,18	1,08
Sn56/N111	MSU/2	302,70	-2,15	1297,63	2,48	-1,12

Podpora	Stav	Rx [kN]	Ry [kN]	Rz [kN]	Mx [kNm]	My [kNm]
Sn56/N111	MSU/97	223,48	-1,42	908,70	-1,80	1,81
Sn56/N111	MSU/94	256,59	-1,69	1087,80	3,34	-0,05
Sn56/N111	MSU/26	236,09	-3,15	1076,37	2,78	-4,38
Sn56/N111	MSU/47	214,74	-1,41	867,84	-1,78	2,30
Sn59/N117	MSU/11	-392,68	-3,83	1302,16	4,54	-5,41
Sn59/N117	MSU/47	-230,93	2,77	786,91	-2,50	-2,02
Sn59/N117	MSU/9	-326,07	-8,24	1101,06	7,40	-3,46
Sn61/N121	MSU/3	-4,71	-36,96	1066,05	49,45	-1,28
Sn61/N121	MSU/102	30,66	29,42	1404,13	-39,93	1,33
Sn61/N121	MSU/26	3,32	-37,24	1414,13	49,78	-1,26
Sn61/N121	MSU/47	22,63	29,70	1056,05	-40,26	1,31
Sn61/N121	MSU/72	22,37	29,70	1056,04	-40,27	1,29
Sn61/N121	MSU/6	21,42	-8,66	1646,68	11,79	0,30
Sn61/N121	MSU/58	-3,38	-37,03	1138,54	49,53	-1,36
Sn61/N121	MSU/103	29,34	29,49	1331,64	-40,01	1,41
Sn62/N123	MSU/3	44,27	220,77	817,76	28,32	20,25
Sn62/N123	MSU/6	93,99	249,85	1137,37	48,72	30,20
Sn62/N123	MSU/12	63,56	133,88	829,25	31,37	23,35
Sn62/N123	MSU/11	81,54	299,42	1186,07	45,56	30,09
Sn62/N123	MSU/1	65,37	138,79	737,82	33,64	20,45
Sn62/N123	MSU/2	92,91	247,49	1193,96	47,42	31,98
Sn5/N128	MSU/16	-170,83	-263,48	1028,77	0,00	0,00
Sn5/N128	MSU/35	90,83	-148,32	521,30	0,00	0,00
Sn5/N128	MSU/6	-38,88	-309,10	1089,41	0,00	0,00
Sn5/N128	MSU/12	90,80	-147,56	518,02	0,00	0,00
Sn5/N128	MSU/11	-124,48	-301,21	1131,37	0,00	0,00
Sn5/N128	MSU/104	-41,21	-257,88	909,82	0,00	0,00
Sn63/N131	MSU/11	-308,86	-153,55	907,13	0,00	0,00
Sn63/N131	MSU/12	-149,14	-114,80	616,12	0,00	0,00
Sn63/N131	MSU/2	-291,91	-170,75	958,01	0,00	0,00
Sn63/N131	MSU/3	-176,48	-85,39	527,65	0,00	0,00
Sn63/N131	MSU/104	-228,83	-135,07	764,68	0,00	0,00
Sn64/N133	MSU/12	72,91	93,56	239,30	0,00	0,00
Sn64/N133	MSU/20	137,47	187,39	473,57	0,00	0,00
Sn64/N133	MSU/104	113,53	147,25	377,84	0,00	0,00
Sn65/N136	MSU/11	-164,12	99,73	315,89	0,00	0,00
Sn65/N136	MSU/12	-36,42	10,94	66,80	0,00	0,00
Sn65/N136	MSU/35	-36,45	10,92	66,63	0,00	0,00
Sn65/N136	MSU/16	-158,81	100,67	308,65	0,00	0,00
Sn65/N136	MSU/104	-119,46	69,51	238,76	0,00	0,00
Sn66/N140	MSU/3	122,13	130,15	338,51	0,00	0,00
Sn66/N140	MSU/2	365,60	288,13	805,48	0,00	0,00
Sn66/N140	MSU/104	279,96	236,25	667,86	0,00	0,00
Sn67/N138	MSU/3	150,92	-111,97	357,76	0,00	0,00
Sn67/N138	MSU/2	351,63	-295,36	761,89	0,00	0,00
Sn67/N138	MSU/104	266,96	-232,59	621,61	0,00	0,00

Reakce MSU; max Rz



Reakce MSP char.; max Rz



Sloupy: Schéma sloupů S 500/400

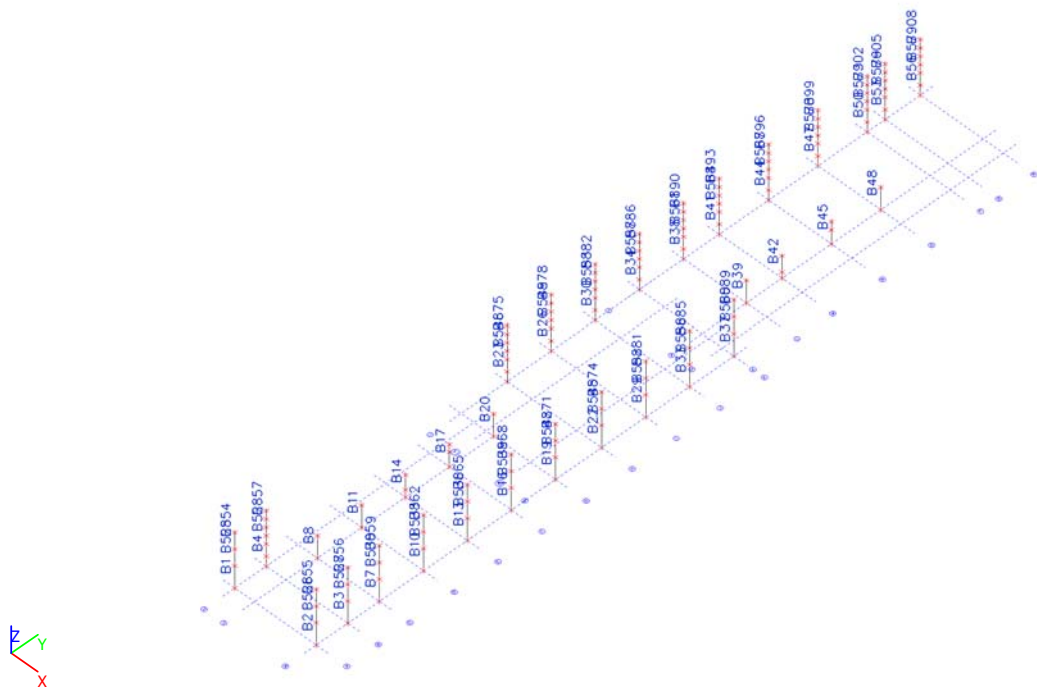
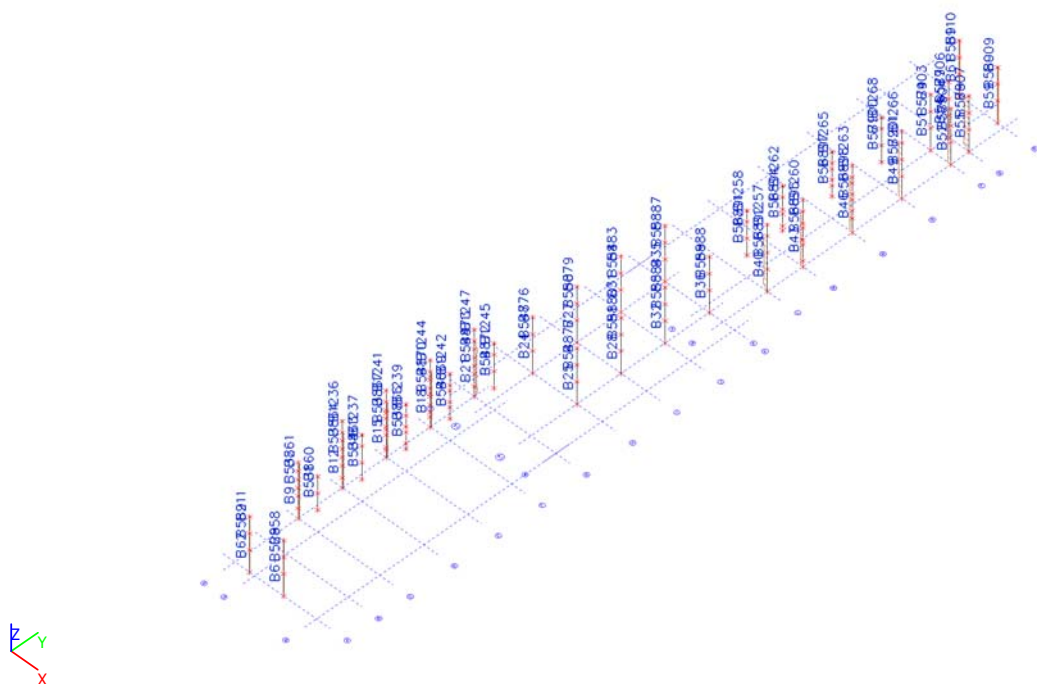


Schéma sloupů S 400/400



Vnitřní síly na prutu - S 500/400

Lineární výpočet, Extrém : Globální, Systém : Hlavní
Výběr : Pojmenovaný výběr - Sloup 500/400
Kombinace : MSU

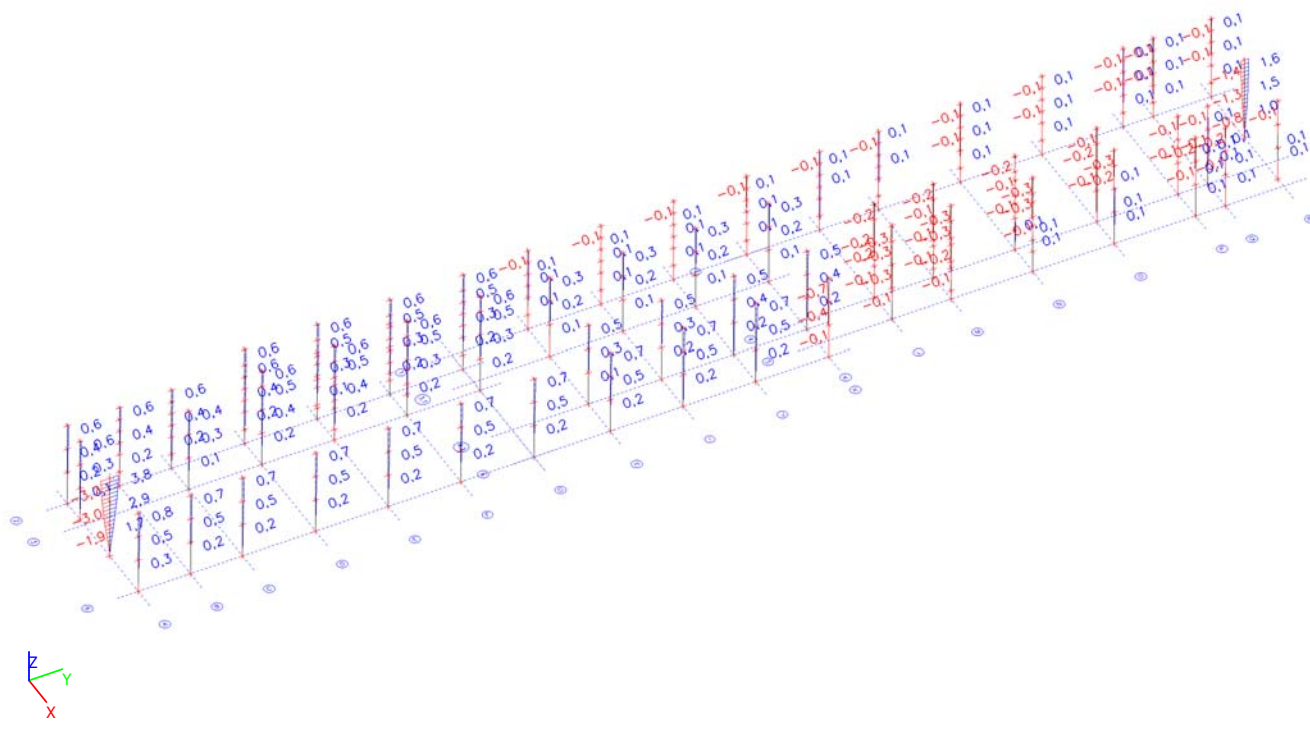
Dílec	css	dx [m]	Stav	N [kN]	Vy [kN]	Vz [kN]	My [kNm]	Mz [kNm]
B45	s50/40 - Obdélník	0,000	MSU/6	-3550,69	-10,90	-9,04	7,45	12,83
B854	s50/40 - Obdélník	2,000	MSU/105	76,68	0,59	-1,22	-3,24	0,82
B4	s50/40 - Obdélník	4,000	MSU/11	-388,37	-20,25	-1,24	-1,95	-4,75
B4	s50/40 - Obdélník	0,000	MSU/9	-1429,31	25,16	-29,47	18,78	-8,92
B23	s50/40 - Obdélník	0,000	MSU/2	-1275,14	3,38	-191,99	36,25	-0,06
B22	s50/40 - Obdélník	0,000	MSU/16	-1546,54	-4,65	73,68	-18,19	5,94
B874	s50/40 - Obdélník	3,000	MSU/2	-501,52	-0,37	-85,23	-55,24	0,00
B13	s50/40 - Obdélník	0,000	MSU/18	-1675,01	-0,73	-32,04	54,69	3,15
B45	s50/40 - Obdélník	2,531	MSU/20	-3159,11	18,46	-17,06	21,25	-16,41
B14	s50/40 - Obdélník	0,000	MSU/2	-3054,65	-17,35	-0,62	22,58	17,29

Vnitřní síly na prutu - S 400/400

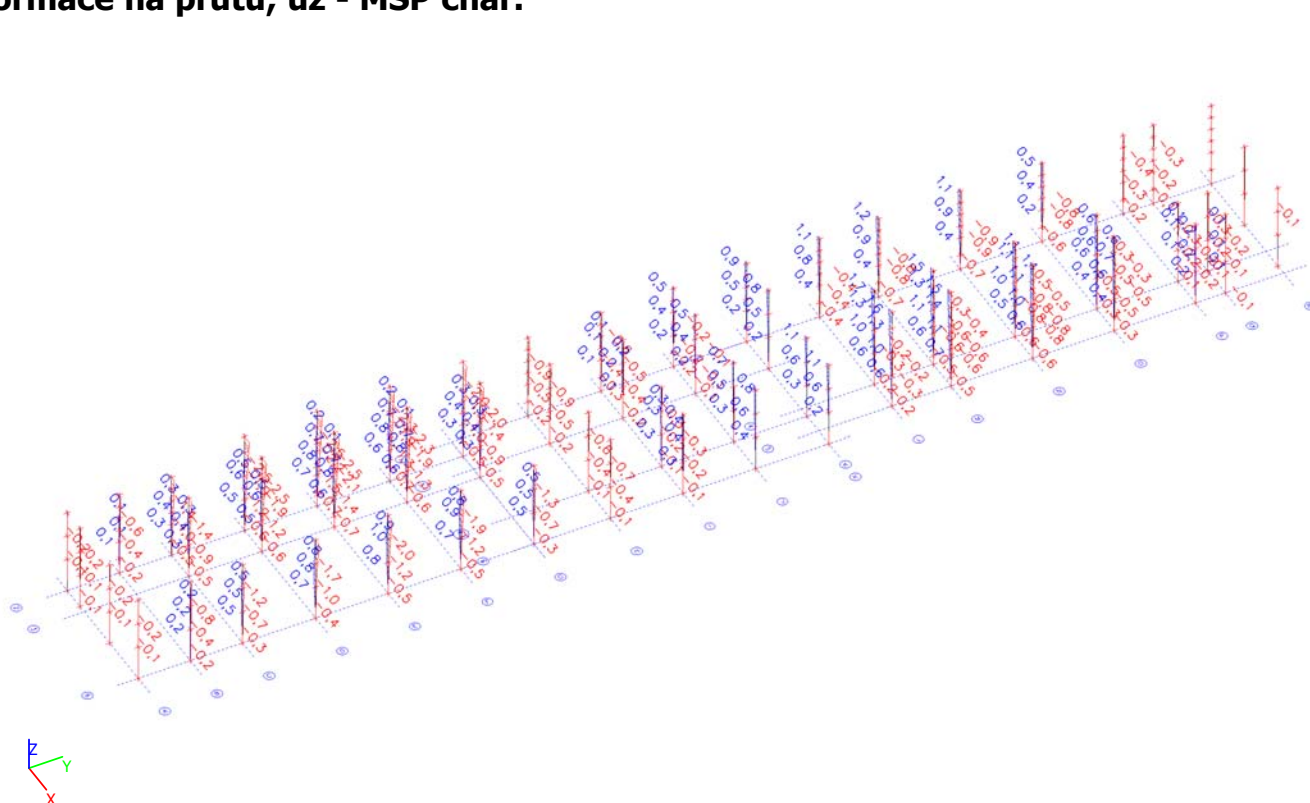
Lineární výpočet, Extrém : Globální, Systém : Hlavní
Výběr : Pojmenovaný výběr - Sloup 400/400
Kombinace : MSU

Dílec	css	dx [m]	Stav	N [kN]	Vy [kN]	Vz [kN]	My [kNm]	Mz [kNm]
B568	s40/40 - Obdélník	0,000	MSU/20	-2465,26	-8,92	0,85	2,54	10,71
B887	s40/40 - Obdélník	0,000	MSU/106	63,29	0,32	-9,01	6,88	-0,56
B6	s40/40 - Obdélník	0,000	MSU/15	-630,04	-94,60	7,94	-2,93	74,02
B6	s40/40 - Obdélník	0,000	MSU/12	-475,51	111,11	-5,83	1,04	-86,08
B876	s40/40 - Obdélník	3,000	MSU/107	-597,56	5,80	-204,23	-80,30	2,55
B888	s40/40 - Obdélník	3,000	MSU/105	-607,76	-2,88	184,80	74,90	-1,47

Deformace na prutu; uy - MSP char.



Deformace na prutu; uz - MSP char.



Závěr:

Návrh nosné konstrukce je proveden na základě výše uvedených podkladů a průběžných konzultací s objednatelem a projektantem stavební části během projekčních prací.

Statickým výpočtem byla prokázána stabilita nosné konstrukce železobetonového skeletu a byly ověřeny návrhy jednotlivých prvků a průřezů.

V Brně dne 23.08.2017

Vypracoval:

Ing. Matěják Michal